

V.H.F. POWER TRANSISTORS

Silicon planar n-p-n high frequency medium power transistors primarily intended for class-B operation in v.h.f. amplifiers. The collector is electrically connected to the case.

QUICK REFERENCE DATA

		BLY33	BLY34
Collector-emitter voltage (peak r.f. ≥ 1 MHz); $V_{BE} = 0$ open base	V_{CESM} V_{CEO}	max. 66 max. 33	40 V 20 V
Collector current (peak r.f. ≥ 1 MHz)	I_{CM}	max. 1,5	1,5 A
Total power dissipation up to $T_{case} = 100$ °C	P_{tot}	max. 2,0	2,0 W
Junction temperature	T_j	max. 150	150 °C
Transition frequency at $f = 100$ MHz	f_T	> 250	250 MHz

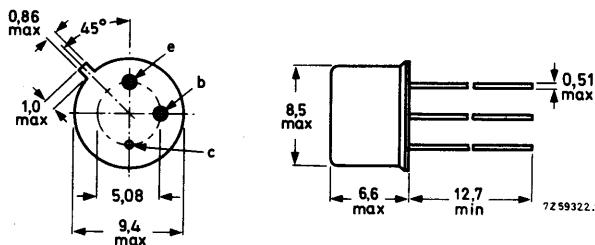
R.F. performance in a 175 MHz common-emitter amplifier

type number	mode of operation	V_{CC} V	P_0 W	G_p dB	η %
BLY33	a.m.	13,8	2,0	typ. 8,0	typ. 80
BLY34	f.m.	13,8	3,0	typ. 8,0	typ. 80

MECHANICAL DATA

Dimensions in mm

Fig. 1 TO-39; collector connected to case.



Maximum lead diameter is guaranteed only for 12,7 mm.

Accessories: 56245 (distance disc).

RATINGS

Limiting values in accordance with the Absolute Maximum System (IEC 134)

		BLY33	BLY34	
Collector-emitter voltage (peak r.f. ≥ 1 MHz); $V_{BE} = 0$ open base	V_{CESM} V_{CEO}	max. max.	66 33	40 20
Emitter-base voltage (open collector)	V_{EBO}	max.	4,0	V
Collector current d.c. (peak value); $f < 1$ MHz (peak value); $f \geq 1$ MHz	I_C I_{CM} I_{CM}	max. max. max.	0,5 0,5 1,5	A A A
Total power dissipation (see also Figs 4, 5 and 6) $f < 1$ MHz; $T_{case} = 25^\circ\text{C}$ $f \geq 1$ MHz; $T_{case} = 25^\circ\text{C}$	P_{tot} P_{tot}	max. max.	4,0 5,0	W W
Storage temperature	T_{stg}		-65 to +150	$^\circ\text{C}$
Junction temperature continuous operation intermittent operation, total duration 200 hours	T_j T_j	max. max.	150 200	$^\circ\text{C}$ $^\circ\text{C}$
THERMAL RESISTANCE				
From junction to case	$R_{th\ j-c}$	=	25	K/W*
CHARACTERISTICS				
$T_j = 25^\circ\text{C}$ unless otherwise specified				
Collector cut-off current $V_{BE} = 0$; $V_{CE} = V_{CEO\max}$	I_{CES}	typ. <	0,02 0,5	mA
$V_{BE} = 0$; $V_{CE} = V_{CESM\max}$	I_{CES}	typ. <	0,10 5,0	mA
Emitter cut-off current $I_C = 0$; $V_{EB} = 4,0$ V	I_{EBO}	typ. <	0,2 0,5	μA mA
D.C. current gain $I_C = 0,2$ A; $V_{CE} = 5,0$ V	h_{FE}	> typ.	10 60	
Transition frequency at $f = 100$ MHz $I_C = 0,2$ A; $V_{CE} = 5,0$ V; $T_{amb} = 25^\circ\text{C}$	f_T	> typ.	250 450	MHz MHz
Collector capacitance at $f = 0,5$ MHz $I_E = I_e = 0$; $V_{CB} = 10$ V	C_c	typ. <	11 15	pF
Emitter capacitance at $f = 0,5$ MHz $I_C = I_c = 0$; $V_{EB} = 0$	C_e	typ. 45 to 90	65	pF pF

* K/W is SI unit for $^\circ\text{C}/\text{W}$.

RECOMMENDED OPERATING CONDITIONS

As a medium power amplifier for the output stage of a small transmitter, or as a driver for larger output stages.

f = 175 MHz

	mode of operation	a.m.	f.m.	BLY33	BLY34
Supply voltage	V_{CC}	nom. <	13,8 16,5	28 32	13,8 16,5
Base bias voltage	V_B		0	0	0
Output power	P_o		2,0	3,0	3,0
Input power	P_i	typ. <	0,32 0,40	0,28 0,40	0,5 0,6
Supply current	I_{CC}	typ.	180	160	270
Efficiency	η	typ.	80	65	80

Notes

1. For a.m. telephony, collector modulation of the output and driver stages is recommended.
2. A heatsink of thermal resistance 20 K/W is recommended for operation in ambient temperatures up to 65 °C. At temperatures > 65 °C, derating is necessary.
3. Under the recommended a.m. operating condition and without modulation, the transistor can withstand any load mismatch. With modulation applied, operation into an extreme mismatch may adversely affect the life of the transistor and care should be exercised to keep the device within its ratings.



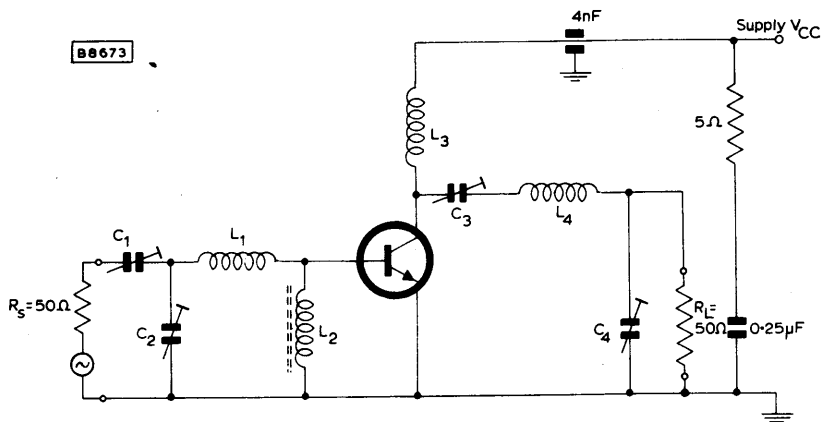


Fig. 2 Basic v.h.f. amplifier circuit.

Component values for 175 MHz amplifier circuit:

C₁ to C₄ = 30 pF concentric trimmer capacitors

L₁ = 1" of straight 18 s.w.g.

L₂ = 3 turns of 24 s.w.g. on ferrite FX1115

L₃ = 5 turns of 18 s.w.g.; internal diameter 3/8"; length 3/8"

L₄ = 3 turns of 18 s.w.g.; internal diameter 3/8"; length 3/8"

Note

To obtain optimum gain performance the emitter lead length should not exceed 1.6 mm.

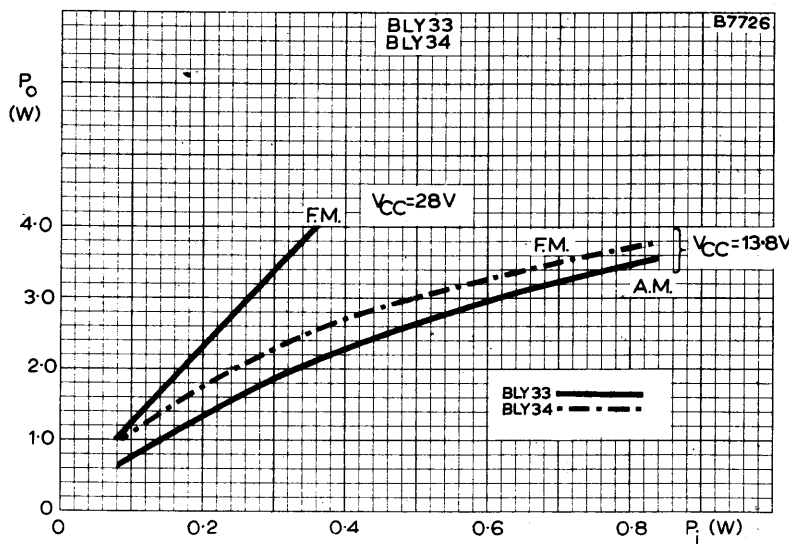


Fig. 3 Typical variation of output power with input power for v.h.f. amplifier (see recommended operating conditions on page 3).

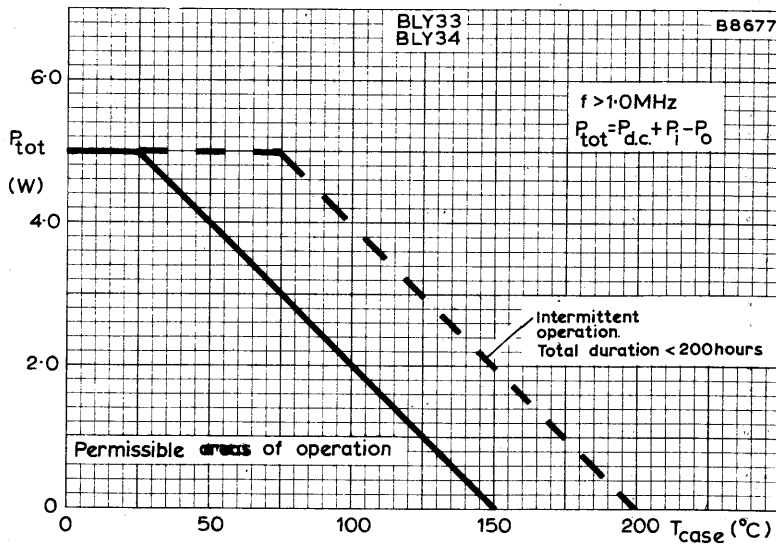


Fig. 4 Maximum permissible power dissipation plotted against case temperature for frequencies > 1.0 MHz.

BLY33
BLY34

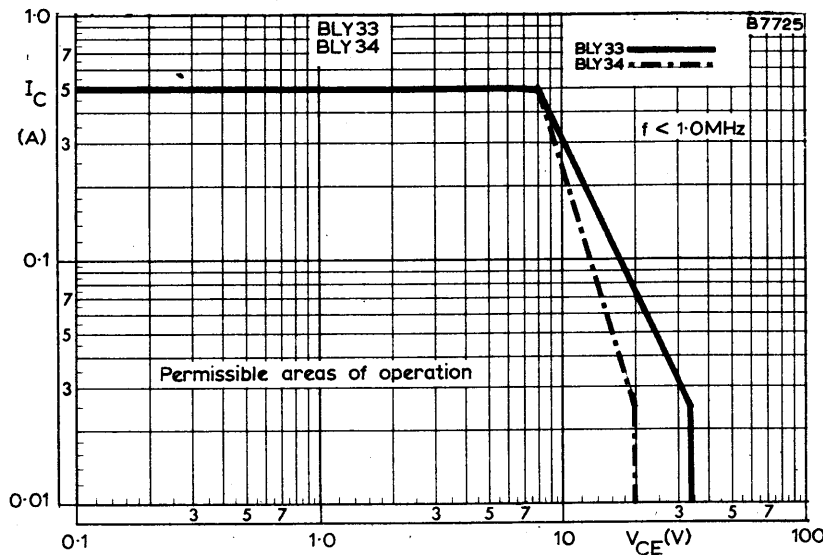


Fig. 5 Permissible areas of operation for frequencies < 1.0 MHz.

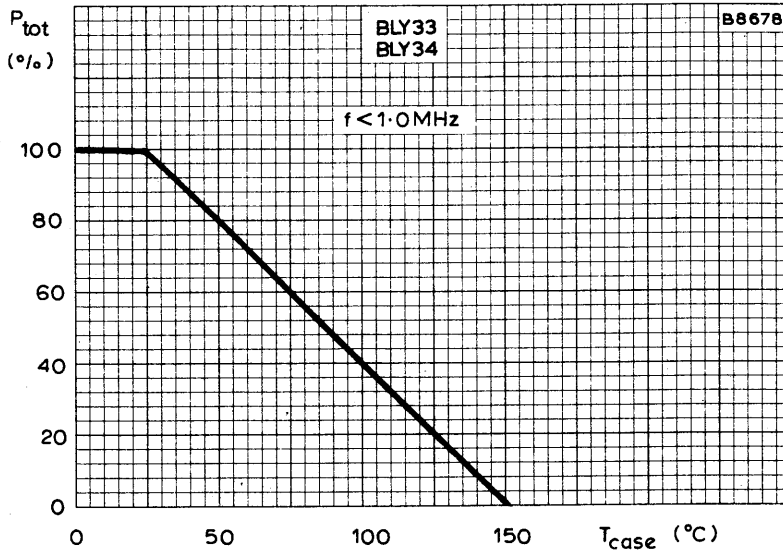


Fig. 6 Percentage power derating plotted against case temperature for frequencies < 1.0 MHz.

V.H.F. POWER TRANSISTORS

Silicon planar n-p-n transistors for v.h.f. mobile operation in class-B. The BLY35 is mounted in a TO-60 envelope and the BLY83 is mounted in a plastic, capstan stripline encapsulation.

The transistors are primarily intended for a.m. operation at 13,8 V but are also suitable for f.m. operation at 24 V.

QUICK REFERENCE DATA

mode of operation	V _{CC} V	f MHz	P _L (carrier) W	P _L into 50 Ω W	η %	m %	d _{tot} %
a.m. class-B	13,8	175	typ. 7,0	—	typ. 77	80	< 5
a.m. class-B	13,8	80	typ. 7,5	—	typ. 77	80	< 5
c.w. class-B	24	175	—	typ. 13	typ. 65	—	—

MECHANICAL DATA

TO-60 (BLY35) (see Fig. 1a)
(BLY83) (see Fig. 1b)



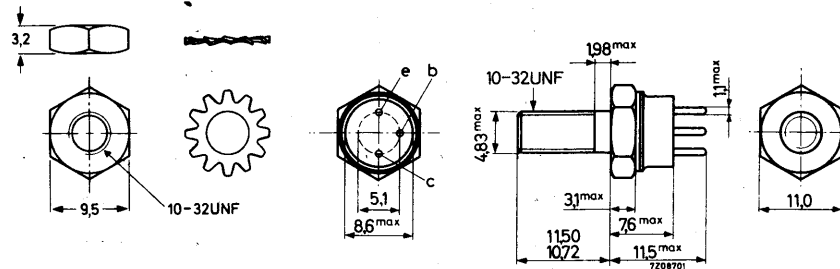
CAUTION These devices incorporate beryllium oxide, the dust of which is toxic. The devices are entirely safe provided that the BeO disc is not damaged.

BLY35
BLY83

MECHANICAL DATA

Fig. 1a TO-60 (BLY35).

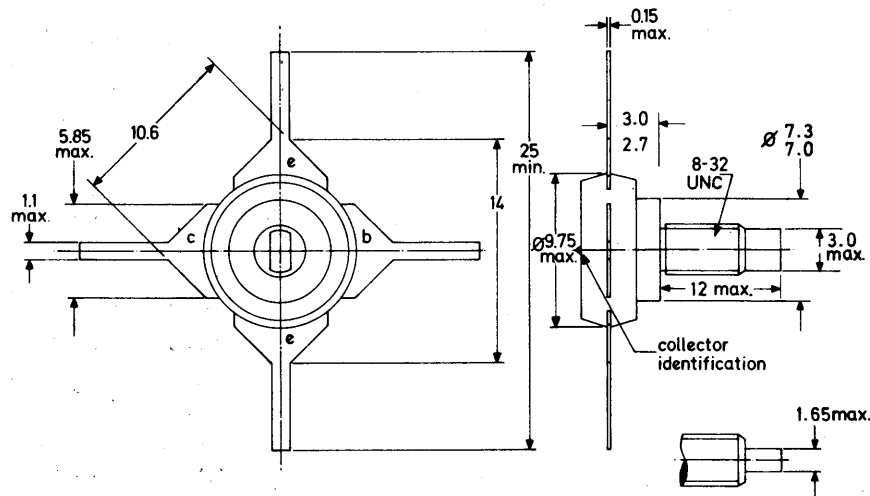
Dimensions in mm



Accessories: Nut and lock washer supplied with device.

Torque on nut: min. 0,8 Nm (8 kg cm)
max. 1,7 Nm (17 kg cm)

Fig. 1b (BLY83).



D3370

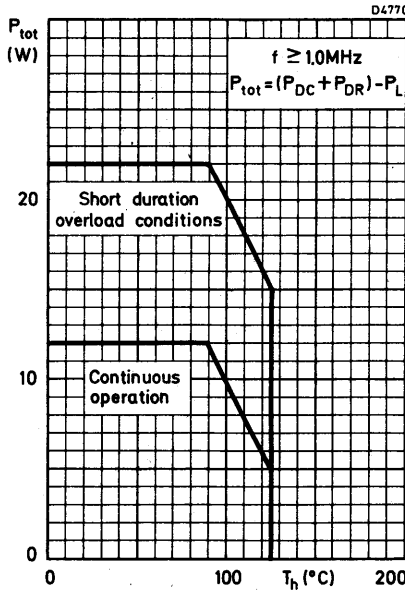
Accessories: Nut and lock washer supplied with device.

Torque on nut: min. 0,75 Nm (7,5 kg cm)
max. 0,85 Nm (8,5 kg cm)

RATINGS

Limiting values in accordance with the Absolute Maximum System (IEC 134)

Collector-base voltage (open emitter) peak value	V_{CBOM}	max.	66	V
Collector-emitter voltage peak value; $V_{BE} = 0$	V_{CESM}	max.	66	V
open base	V_{CEO}	max.	33	V
Emitter-base voltage (open collector)	V_{EBO}	max.	4,0	V
Collector current d.c. (peak value); $f < 1\text{ MHz}$	I_C	max.	2,5	A
(peak value); $f \geq 1\text{ MHz}$	I_{CM}	max.	2,5	A
	I_{CM}	max.	7,5	A
Total power dissipation up to $T_h = 90^\circ\text{C}$ ($f \geq 1\text{ MHz}$)	P_{tot}	max.	12	W
Storage temperature	BLY35	T_{stg}	-65 to +200	$^\circ\text{C}$
	BLY83	T_{stg}	-65 to +150	$^\circ\text{C}$

Fig. 2 Maximum permissible power dissipation plotted against heatsink temperature for frequencies $\geq 1,0\text{ MHz}$.

CHARACTERISTICS

$T_j = 25^\circ\text{C}$ unless otherwise specified

Collector-base breakdown voltage

open emitter; $I_C = 10 \text{ mA}$

$V_{(\text{BR})\text{CBO}} > 66 \text{ V}$

Collector-emitter breakdown voltage

$V_{BE} = 0$; $I_C = 10 \text{ mA}$

$V_{(\text{BR})\text{CES}} > 66 \text{ V}$

open base; $I_C = 50 \text{ mA}$

$V_{(\text{BR})\text{CEO}} > 33 \text{ V}$

Emitter-base breakdown voltage

open collector; $I_E = 1,0 \text{ mA}$

$V_{(\text{BR})\text{EBO}} > 4,0 \text{ V}$

D.C. current gain

$I_C = 1,0 \text{ A}$; $V_{CE} = 5,0 \text{ V}$

$h_{FE} \quad 10 \text{ to } 220$

typ. 60

Transition frequency at $f = 100 \text{ MHz}$

$I_C = 1,0 \text{ A}$; $V_{CE} = 5,0 \text{ V}$; $T_{\text{amb}} = 25^\circ\text{C}$

$f_T > 250 \text{ MHz}$

typ. 450 MHz

Collector capacitance at $f = 1 \text{ MHz}$

$I_E = I_e = 0$; $V_{CB} = 10 \text{ V}$

$C_c \quad \text{typ. } 34 \text{ pF}$

$< 45 \text{ pF}$

Emitter capacitance at $f = 1 \text{ MHz}$

$I_C = I_c = 0$; $V_{EB} = 0$

$C_e > 100 \text{ pF}$

typ. 155 pF

APPLICATION INFORMATION

R.F. performance in a 7,0 W a.m. transmitter at $f = 175$ MHz, $f_{mod.} = 1$ kHz

V_{CC} V	PDR W	P_L (carrier) W	I_C (driver) A	I_C (amplifier) A	G_p dB	η %	m %	d_{tot} %
13,8	0,35	typ. 7,0	typ. 0,22	typ. 0,66	13	typ. 77	80	< 5

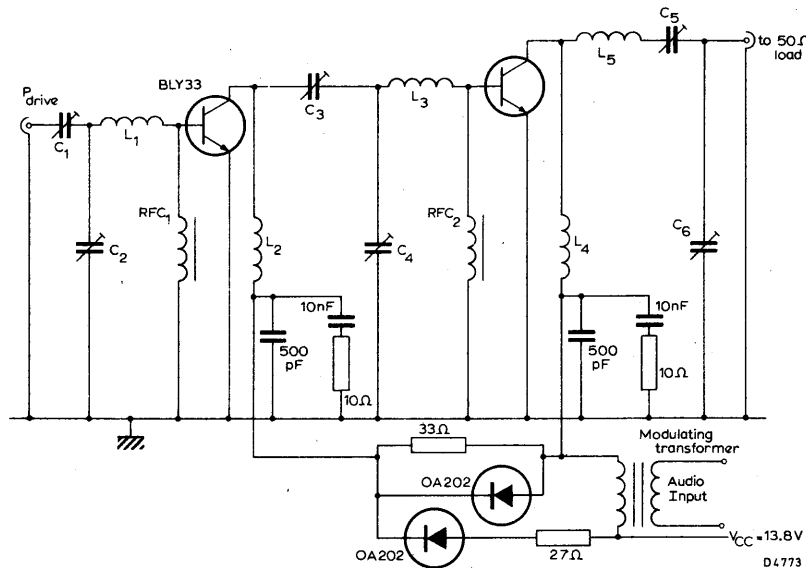


Fig. 3 175 MHz transmitter circuit.

Component values for 175 MHz transmitter circuit:

 C_1 to C_6 = 4 to 29 pF concentric trimmer capacitors $L_1 = L_3$ = 3 turns of 1,2 mm enamelled Cu wire; int. dia. = 6,4 mm; length = 5,0 mm $L_2 = L_4$ = 5 turns of 1,2 mm enamelled Cu wire; int. dia. = 6,4 mm; length = 10 mm L_5 = 3 turns of 1,7 mm enamelled Cu wire, int. dia. = 10 mm; length = 10 mm $RFC_1 = RFC_2$ = 2 turns of 0,4 mm enamelled Cu wire on ferrite FX1115

R.F. performance in a 7,0 W a.m. transmitter at $f = 80$ MHz, $f_{mod.} = 1$ kHz

V_{CC} V	P_{DR} W	P_L (carrier) W	I_C (driver) A	I_C (amplifier) A	G_p dB	η %	m %	d_{tot} %
13,8	0,06	typ. 7,5	typ. 0,06	typ. 0,7	21	typ. 70	80	< 5

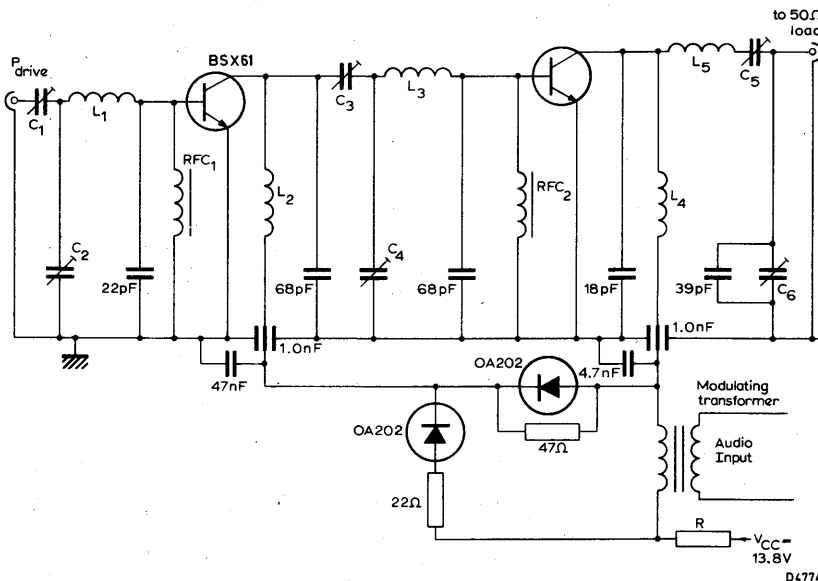


Fig. 4 80 MHz transmitter circuit.

Component values for 80 MHz transmitter circuit:

C_1 to C_6 = 4 to 29 pF concentric trimmer capacitors

$L_1 = L_3$ = 5 turns of 1,2 mm enamelled Cu wire; int. dia. = 6,3 mm; length = 9,0 mm

$L_2 = L_4$ = 3 turns of 1,2 mm enamelled Cu wire; int. dia. = 7,0 mm; length = 6,0 mm

L_5 = 6 turns of 2,0 mm enamelled Cu wire; int. dia. = 10 mm; length = 13 mm

$RFC_1 = RFC_2$ = 1 turn of 0,4 mm enamelled Cu wire on ferrite FX1115

R This resistor is incorporated to reduce the carrier level to 8 W or below.

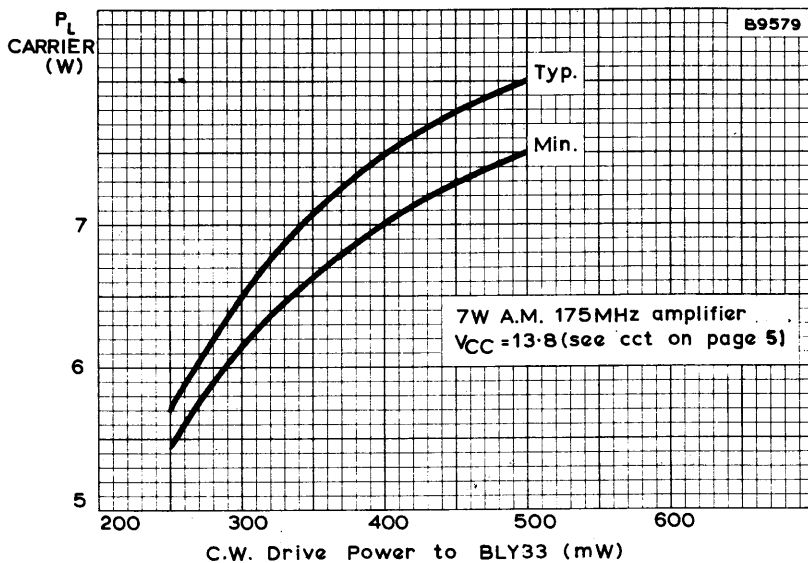


Fig. 5 Aerial carrier power plotted against c.w. drive power for the 7 W a.m. 175 MHz amplifier (see page 5).

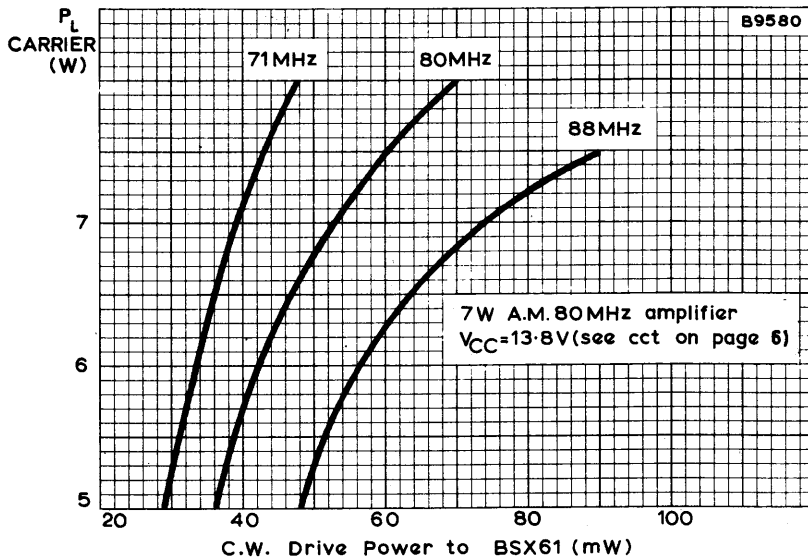


Fig. 6 Aerial carrier power plotted against c.w. drive power for the 7 W a.m. 80 MHz amplifier (see page 6).

R.F. performance in c.w. operation at $f = 175$ MHz, T_h up to 40 °C

V_{CC} V	P_{DR} W	P_L into 50Ω ~ W	η %	G_p dB
24	1,35	typ. 13	typ. 65	9,8
13,8	1,35	typ. 7,5		

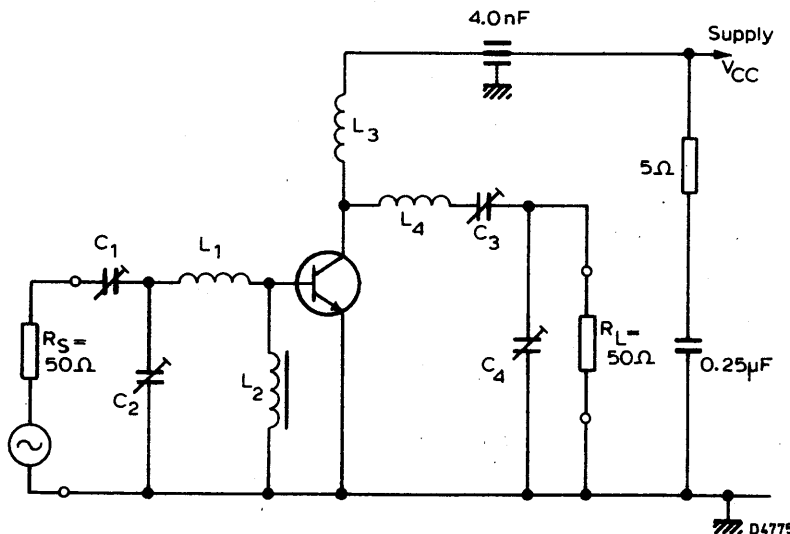


Fig. 7 175 MHz amplifier circuit.

Component values for 175 MHz amplifier circuit:

$C_1 = C_3 = C_4 = 30$ pF max. concentric trimmer capacitors

$C_2 = 60$ pF max. concentric trimmer capacitor

$L_1 = 25,4$ mm of straight 1,7 mm Cu wire

$L_2 = 3$ turns of 0,5 mm Cu wire on ferrite FX1115

$L_3 = 3$ turns of 1,7 mm Cu wire; int. dia. = 9,5 mm; length = 9,5 mm

$L_4 = 2$ turns of 2,0 mm Cu wire; int. dia. = 12,7 mm; length = 9,5 mm

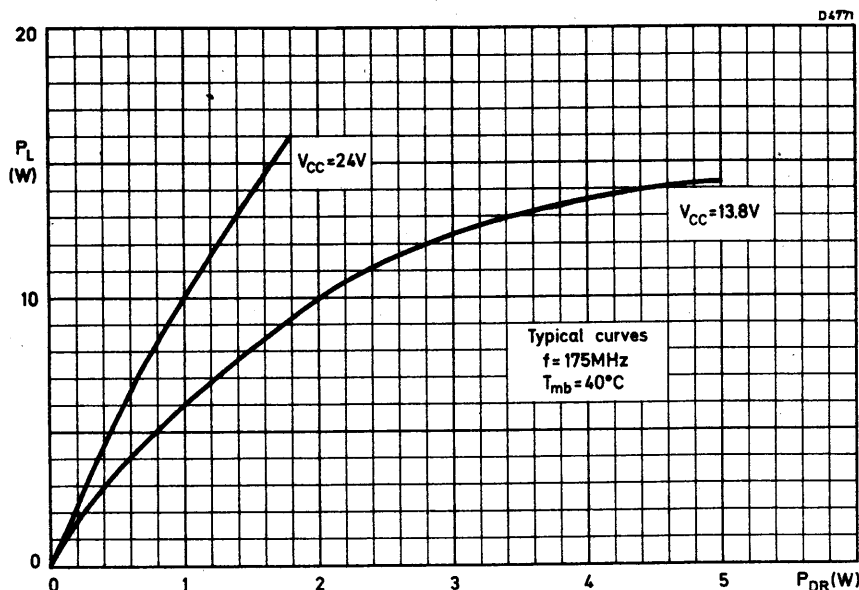


Fig. 8 Load power plotted against drive power.

R.F. performance in c.w. operation at $f = 80$ MHz up to $T_h = 40$ °C.

V_{CC} V	P_{DR} W	P_L into $50\ \Omega$ W
13,8	0,5	typ. 12,5
6,9	0,5	typ. 5,0

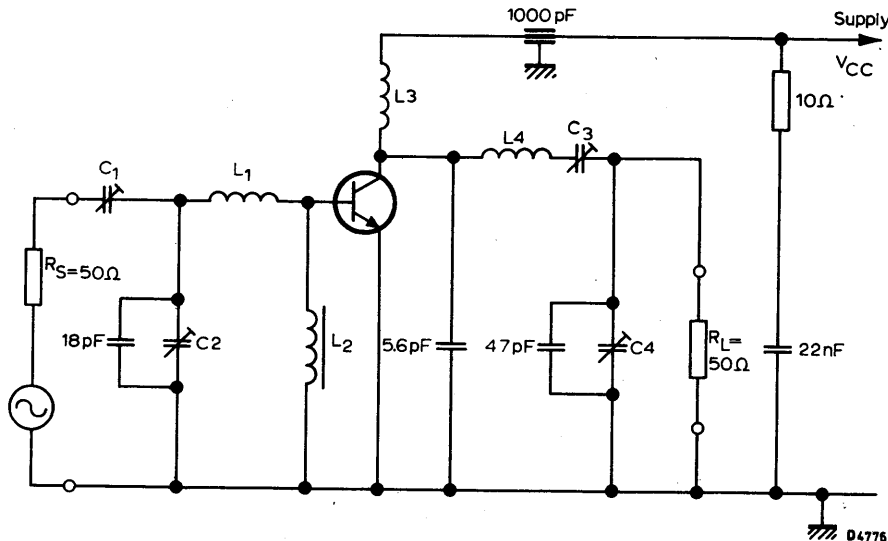


Fig. 9 80 MHz amplifier circuit.

Component values for 80 MHz amplifier circuit:

C_1 to C_4 = 4 to 29 pF concentric trimmer capacitors

L_1 = 4 turns of 1,2 mm Cu wire; int. dia. 6,3 mm; length 8,0 mm

L_2 = 2 turns of 0,35 mm Cu wire on ferrite FX1115

L_3 = 5 turns of 1,2 mm Cu wire; int. dia. 6,3 mm; close wound

L_4 = 5 turns of 1,7 mm Cu wire; int. dia. 9,6 mm; length 12 mm

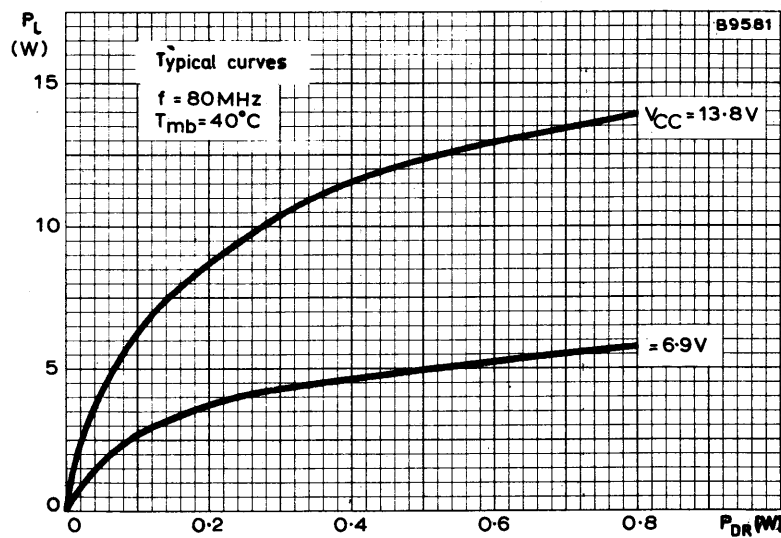


Fig. 10 Load power plotted against drive power.

V.H.F. POWER TRANSISTORS

Silicon planar n-p-n transistors for v.h.f. mobile operation in class-B. The BLY36 is mounted in a TO-60 envelope and the BLY84 is mounted in a plastic, capstan stripline encapsulation.

The transistors are primarily intended for f.m. operation at 13,8 V.

QUICK REFERENCE DATA

R.F. performance in an unneutralized common-emitter class-B circuit

V _{CC} V	f MHz	P _{DR} W	P _L into 50 Ω W	η %
13,8	175	1,2	typ. 7,0	typ. 77
13,8	175	3,4	typ. 13,2	typ. 79
13,8	80	0,5	typ. 13,5	typ. 80

MECHANICAL DATA

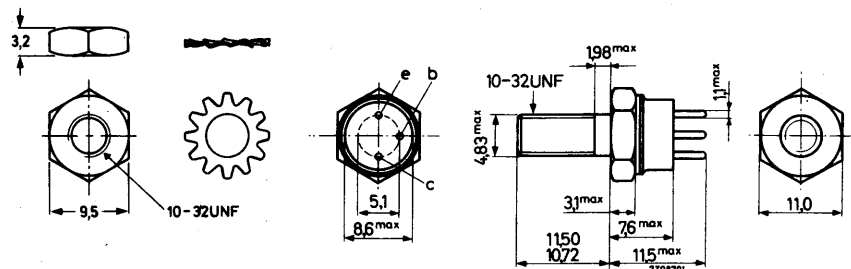
TO-60 (BLY36) (see Fig. 1a)
(BLY84) (see Fig. 1b)

CAUTION These devices incorporate beryllium oxide, the dust of which is toxic. The devices are entirely safe provided that the BeO disc is not damaged.

MECHANICAL DATA

Fig. 1a TO-60 (BLY36).

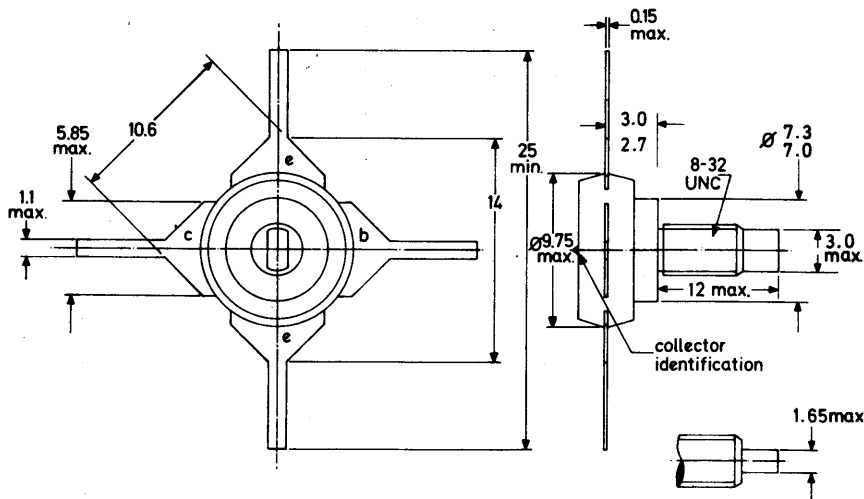
Dimensions in mm



Accessories: Nut and lock washer supplied with device.

Torque on nut: min. 0,8 Nm (8 kg cm)
max. 1,7 Nm (17 kg cm)

Fig. 1b (BLY84).



Accessories: Nut and lock washer supplied with device.

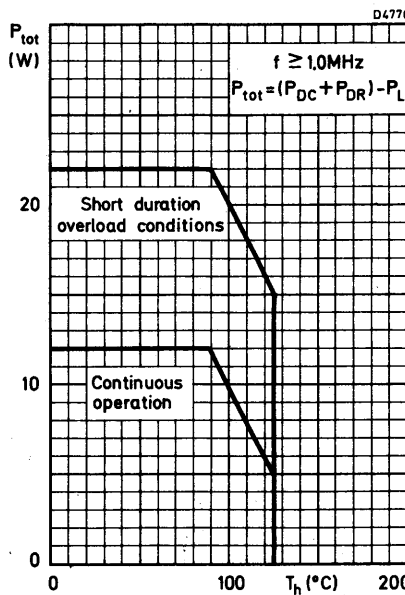
Torque on nut: min. 0,75 Nm (7,5 kg cm)
max. 0,85 Nm (8,5 kg cm)

D 3370

RATINGS

Limiting values in accordance with the Absolute Maximum System (IEC 134)

Collector-base voltage (open emitter) peak value	V_{CBOM}	max.	40	V
Collector-emitter voltage peak value; $V_{BE} = 0$	V_{CESM}	max.	40	V
open base	V_{CEO}	max.	20	V
Emitter-base voltage (open collector)	V_{EBO}	max.	4,0	V
Collector current d.c. (peak value); $f < 1$ MHz	I_C	max.	2,5	A
(peak value); $f \geq 1$ MHz	I_{CM}	max.	2,5	A
	$ I_{CM} $	max.	7,5	A
Total power dissipation up to $T_h = 90$ °C ($f \geq 1$ MHz)	P_{tot}	max.	12	W
Storage temperature	BLY36	T_{stg}	-65 to + 200	°C
	BLY84	T_{stg}	-65 to + 150	°C

Fig. 2 Maximum permissible power dissipation plotted against heatsink temperature for frequencies ≥ 1 MHz.

CHARACTERISTICS

$T_j = 25^\circ\text{C}$ unless otherwise specified

Collector-base breakdown voltage
open emitter; $I_C = 10 \text{ mA}$

$V_{(\text{BR})\text{CBO}}$ > 40 V

Collector-emitter breakdown voltage
 $V_{BE} = 0$; $I_C = 10 \text{ mA}$
open base; $I_C = 50 \text{ mA}$

$V_{(\text{BR})\text{CES}}$ > 40 V
 $V_{(\text{BR})\text{CEO}}$ > 20 V

Emitter-base breakdown voltage
open collector; $I_E = 1,0 \text{ mA}$

$V_{(\text{BR})\text{EBO}}$ > 4,0 V

D.C. current gain

$I_C = 1,0 \text{ A}$; $V_{CE} = 5,0 \text{ V}$

h_{FE} > 10
typ. 60

Transition frequency at $f = 100 \text{ MHz}$
 $I_C = 1,0 \text{ A}$; $V_{CE} = 5,0 \text{ V}$; $T_{\text{amb}} = 25^\circ\text{C}$

f_T > 250 MHz
typ. 450 MHz

Collector capacitance at $f = 1 \text{ MHz}$
 $I_E = I_e = 0$; $V_{CB} = 10 \text{ V}$

C_c typ. 37 pF
< 45 pF

Emitter capacitance at $f = 1 \text{ MHz}$
 $I_C = I_c = 0$; $V_{EB} = 0$

C_e > 100 pF
typ. 155 pF

APPLICATION INFORMATIONR.F. performance in c.w. operation at $f = 175$ MHz up to $T_h = 40^\circ\text{C}$

V_{CC} V	P_{DR} W	P_L into $50\ \Omega$ W	η %	G_p dB
13,8	1,2	typ. 7,0	typ.77	7,6
13,8	3,4	typ. 13,2	typ.79	5,8

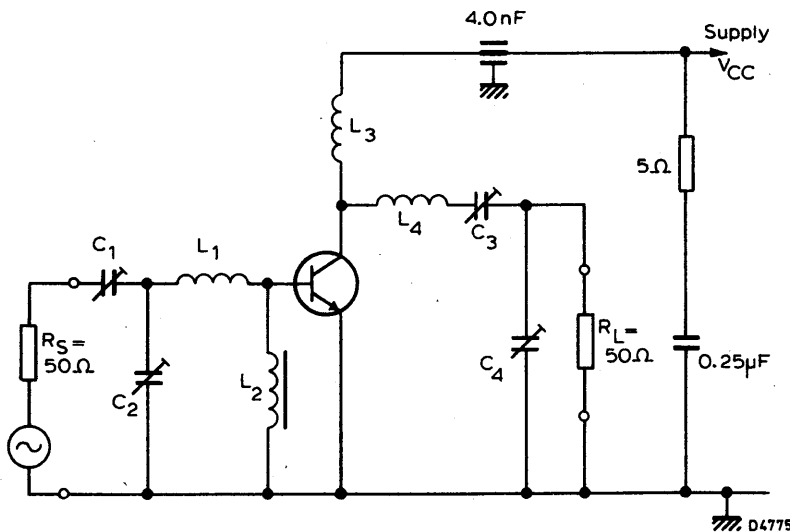


Fig. 3 175 MHz amplifier circuit.

Component values for 175 MHz amplifier circuit:

 $C_1 = C_3 = C_4 = 30\ \text{pF}$ max. concentric trimmer capacitors $C_2 = 60\ \text{pF}$ max. concentric trimmer capacitor $L_1 = 25,4\ \text{mm}$ of straight $1,7\ \text{mm}$ Cu wire $L_2 = 3$ turns of $0,5\ \text{mm}$ Cu wire on ferrite FX1115 $L_3 = 3$ turns of $1,7\ \text{mm}$ Cu wire; int. dia. $9,5\ \text{mm}$; length $9,5\ \text{mm}$ $L_4 = 2$ turns of $2,0\ \text{mm}$ Cu wire; int. dia. $12,7\ \text{mm}$; length $9,5\ \text{mm}$

BLY36

BLY84

D4777

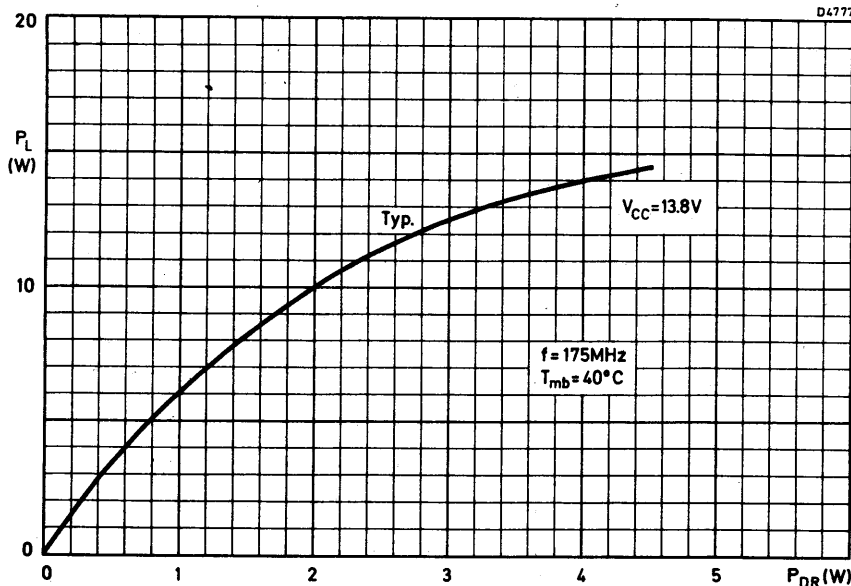


Fig. 4 Load power plotted against drive power.

R.F. performance in c.w. operation at $f = 80$ MHz up to $T_h = 40^\circ\text{C}$

V_{CC} V	P_{DR} W	P_L into $50\ \Omega$ W	η %	G_p dB
13,8	0,5	typ. 13,5	typ. 80	14,2
6,9	0,5	typ. 5,5	typ. 80	10,3

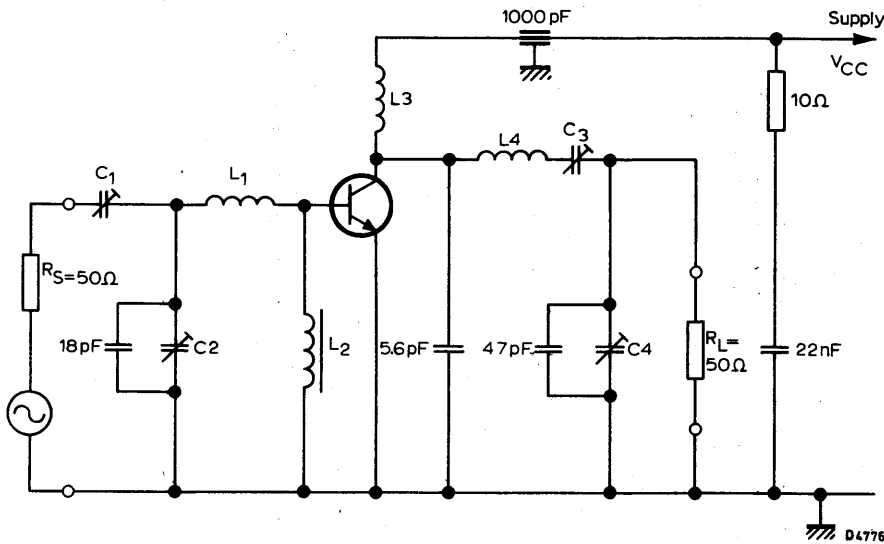


Fig. 5 80 MHz amplifier circuit.

Component values for 80 MHz amplifier circuit:

 C_1 to C_4 = 4 to 29 pF concentric trimmer capacitors L_1 = 4 turns of 1,2 mm Cu wire; int. dia. 6,3 mm; length 8,0 mm L_2 = 2 turns of 0,35 mm Cu wire on ferrite FX1115 L_3 = 5 turns of 1,2 mm Cu wire; int. dia. 6,3 mm; close wound L_4 = 5 turns of 1,7 mm Cu wire; int. dia. 9,6 mm; length 12 mm

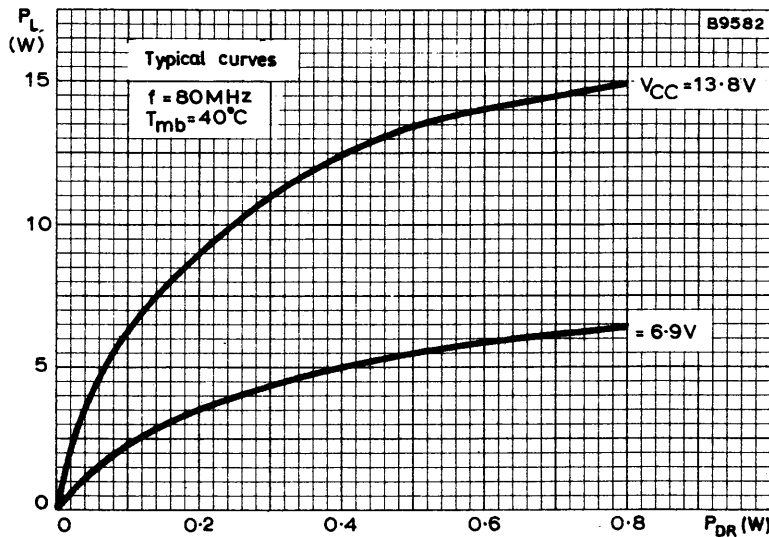


Fig. 6 Load power plotted against drive power.



BLY 37
BLY 38
BLY 53
BLY 76

SILIZIUM - NPN - PLANAR - EPITAXIAL -
HF - LEISTUNGSTRANSISTOREN

für FM-Senderanwendungen bei 470 MHz

BLY 37 für Endstufen } bei 28 V
BLY 76 für Treiberstufen } Speisespannung
BLY 53 für Endstufen } bei 13,8 V
BLY 38 für Treiberstufen } Speisespannung

Mechanische Daten:

Gehäuse: Kunststoff mit
Gewindestutzen
(SOT-36)

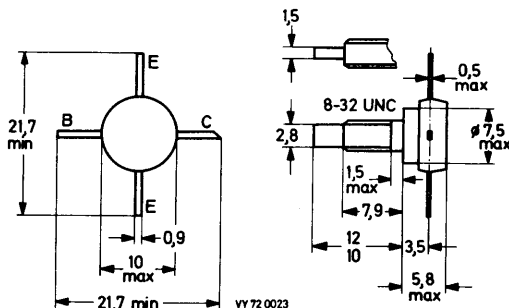
Alle Elektroden sind vom
Gewindestutzen isoliert.

Die Transistoren werden
mit Mutter SW 8,6 x 5
geliefert.

Drehmoment bei Befestigung
 $M_D = 8,0 \pm 0,5 \text{ cm kp}$

Bohrung im Kühlblech
max. 4,17 mm Ø

Maßangaben in mm.



Kurzdaten:

		BLY 37	BLY 38	BLY 53	BLY 76
Kollektor-Sperrspannung	$U_{CB\ 0\ M} = \text{max. } 65$	36	36	65	V
Kollektor-Emitter-Sperrspannung	$U_{CE\ 0} = \text{max. } 36$	18	18	36	V
Kollektorstrom, Scheitelwert	$I_{CM} = \text{max. } 2,5$	1,5	4,0	1,0	A
Gesamtverlustleistung bei $\theta_G = 100^\circ\text{C}$	$P_{tot} = \text{max. } 8,0$	3,2	8,0	3,2	W
Sperrsichttemperatur	$\theta_J = \text{max. } 200$	200	200	200	$^\circ\text{C}$
Transit-Frequenz bei $U_{CE} = 5 \text{ V}$	$f_T = \text{ } 800$	1000	800	900	MHz
Ausgangsleistung	$P_2 \geq 6$	2	6	2	W
Wirkungsgrad	$\eta \geq 60$	60	60	60	%

BLY 37

BLY 38

BLY 53

BLY 76

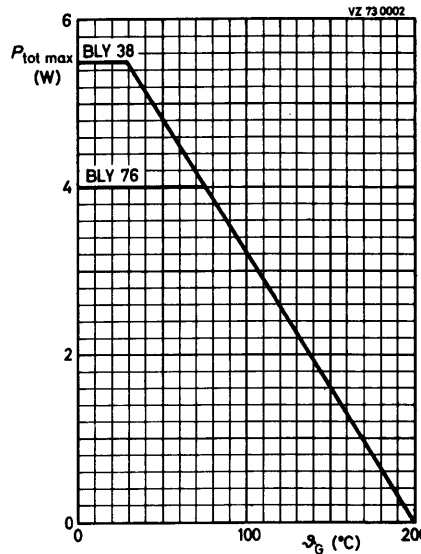
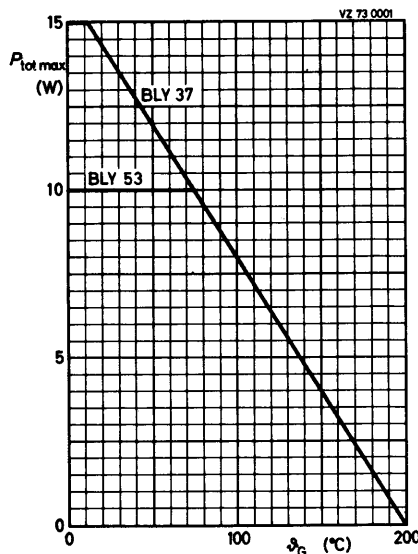
Absolute Grenzwerte: (gültig bis ϑ_J max)

BLY 37 BLY 38 BLY 53 BLY 76

Kollektor-Sperrspannung, Scheitelpunkt bei $I_E = 0$, $I_C = 10$ mA:	$U_{CB\ 0\ M}$ = max.	65	36	36	65 V
Kollektor-Emitter-Sperrspannung bei $I_B = 0$, $I_C = 10$ mA:	$U_{CE\ 0}$ = max.	36	18	18	36 V
Emitter-Sperrspannung bei $I_C = 0$, $I_E = 10$ mA:	$U_{EB\ 0}$ = max.	4	4	4	4 V
Kollektorstrom, Mittelwert:	$I_{C\ AV}$ = max.	0,75	0,5	1,3	0,3 A
Kollektorstrom, Scheitelpunkt:	$I_{C\ M}$ = max.	2,5	1,5	4,0	1,0 A
Emitterstrom, Scheitelpunkt:	$-I_{E\ M}$ = max.	2,5	1,5	4,0	1,0 A
Gesamtverlustleistung bei $f \leq 1$ MHz:	P_{tot} = max.	10	5,5	15	4,0 W
Sperrsichttemperatur:	ϑ_J = max.	200	200	200	200 °C
Lagerungstemperatur:	ϑ_S = min.	-30	-30	-30	-30 °C
	ϑ_S = max.	200	200	200	200 °C

Wärmewiderstand:

zwischen Sperrsicht und Gewindestutzen: $R_{th\ G} \leq 12,5$ 31 12,5 31 grd/W



BLY 37
BLY 38
BLY 53
BLY 76

Kennwerte: (bei $\theta_J = 25^\circ\text{C}$)

BLY 37 **BLY 38** **BLY 53** **BLY 76**

Gleichstromverstärkung

bei $U_{CE} = 5 \text{ V}$, $I_C = 250 \text{ mA}$:	B	=	70	30
bei $U_{CE} = 5 \text{ V}$, $I_C = 500 \text{ mA}$:	B	=	35	50

Basisspannung¹⁾

bei $U_{CE} = 5 \text{ V}$, $I_C = 250 \text{ mA}$:	U_{BE}	\leq	1,5	1,5	V
bei $U_{CE} = 5 \text{ V}$, $I_C = 500 \text{ mA}$:	U_{BE}	\leq	1,5	1,5	V

Kollektor-Emitter-Restspannung

bei $I_C = 250 \text{ mA}$, $I_B = 50 \text{ mA}$:	$U_{CE \text{ sat}}$	\leq	0,5	0,5	V
bei $I_C = 500 \text{ mA}$, $I_B = 100 \text{ mA}$:	$U_{CE \text{ sat}}$	\leq	0,5	0,5	V

Transit-Frequenz bei $f_M = 100 \text{ MHz}$

bei $U_{CE} = 5 \text{ V}$, $I_C = 250 \text{ mA}$:	f_T	=	1000	900	MHz
bei $U_{CE} = 5 \text{ V}$, $I_C = 500 \text{ mA}$:	f_T	=	800	800	MHz

Kollektorkapazität bei $f = 1 \text{ MHz}$

bei $U_{CB} = 13,8 \text{ V}$, $I_E = 0$:	C_c	=	5,5	10	pF
bei $U_{CB} = 28 \text{ V}$, $I_E = 0$:	C_c	=	8	3,5	pF

Kollektor-Gehäuse-Kapazität: $C_{C/G}$ = 2 2 2 2 pF

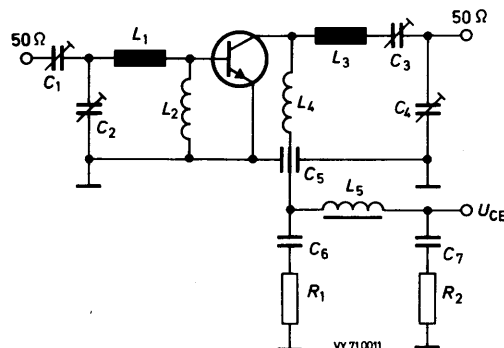
Vierpol-Koeffizienten bei $f = 470 \text{ MHz}$

bei $U_{CE} = 5 \text{ V}$, $I_C = 250 \text{ mA}$:	$\text{Re}(h_{11e})$	=	8	6	Ω
	$\text{Im}(h_{11e})$	=	11	12	Ω
bei $U_{CE} = 5 \text{ V}$, $I_C = 500 \text{ mA}$:	$\text{Re}(h_{11e})$	=	4	4	Ω
	$\text{Im}(h_{11e})$	=	13	13	Ω

¹⁾ $\Delta U_{BE}/\Delta \theta_J \approx -1,5 \text{ mV/grd}$

BLY 37**BLY 38****BLY 53****BLY 76**HF-Leistungsverstärker in Emitterschaltung bei $f = 470 \text{ MHz}$, $\vartheta_G = 25^\circ\text{C}$:

		<u>BLY 37</u>	<u>BLY 38</u>	<u>BLY 53</u>	<u>BLY 76</u>	
Speisespannung:	U_{CE}	=	28	13,8	13,8	28 V
Ausgangsleistung:	P_2	=	6	2	6	2 W
Eingangsleistung:	P_1	\leq	1,5	0,5	2,0	0,4 W
Leistungsverstärkung:	V_p	\geq	6	6	4,7	7 dB
Wirkungsgrad:	η	\geq	60	60	60	60 %

Die Transistoren sind bei einem Welligkeitsfaktor $s \leq 50$ geprüft.

$$R_1 = 10 \Omega$$

$$R_2 = 10 \Omega$$

$$C_1 = 1 \dots 17 \text{ pF} \quad \left. \right\}$$

$$C_2 = 1 \dots 17 \text{ pF} \quad \left. \right\} \text{Luft-}$$

$$C_3 = 1 \dots 17 \text{ pF} \quad \left. \right\} \text{trimmer}$$

$$C_4 = 1 \dots 17 \text{ pF}$$

$$C_5 = 100 \text{ pF} \quad \text{Keramik}$$

$$C_6 = 10 \text{ nF}$$

$$C_7 = 10 \text{ nF}$$

L_1 : Kupferband 35 mm x 6 mm

L_2 : 5 Wdgns. 0,6 mm CuL, Innen-Ø 8 mm

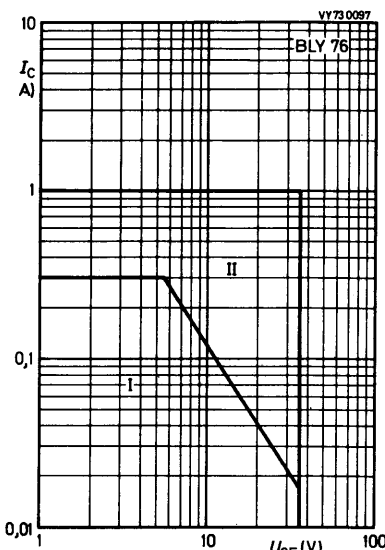
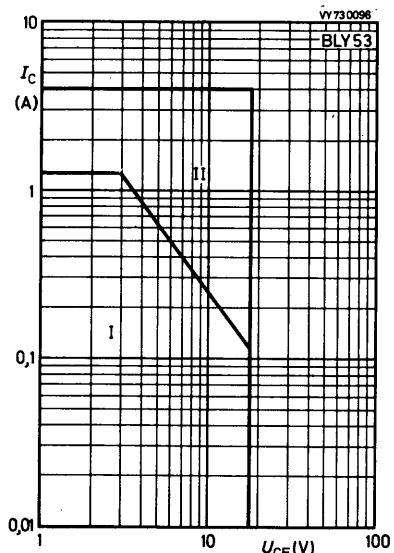
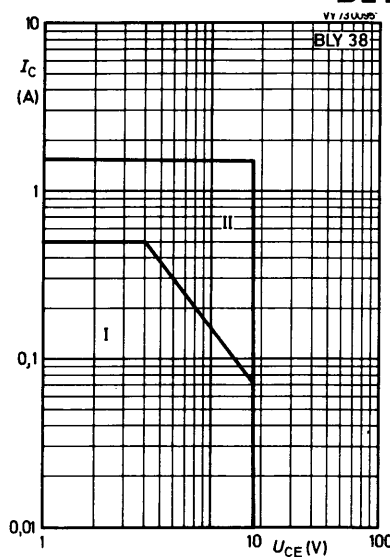
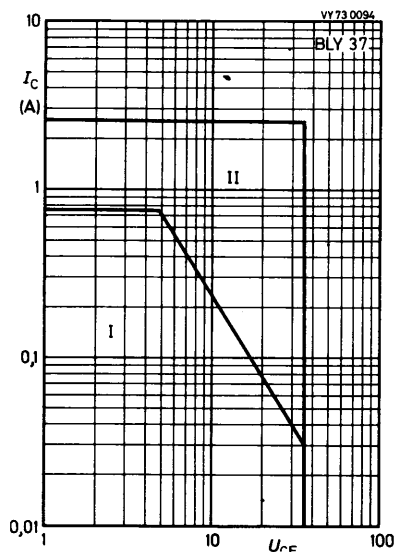
L_3 : Kupferdraht 25 mm x 1,5 mm Ø

L_4 : 3 Wdgns. 1 mm Cu, Abstand 2 mm,

Innen-Ø 3,5 mm, Zuleitung 2 x 10 mm

L_5 : FXC-Drossel 4312 020 36641

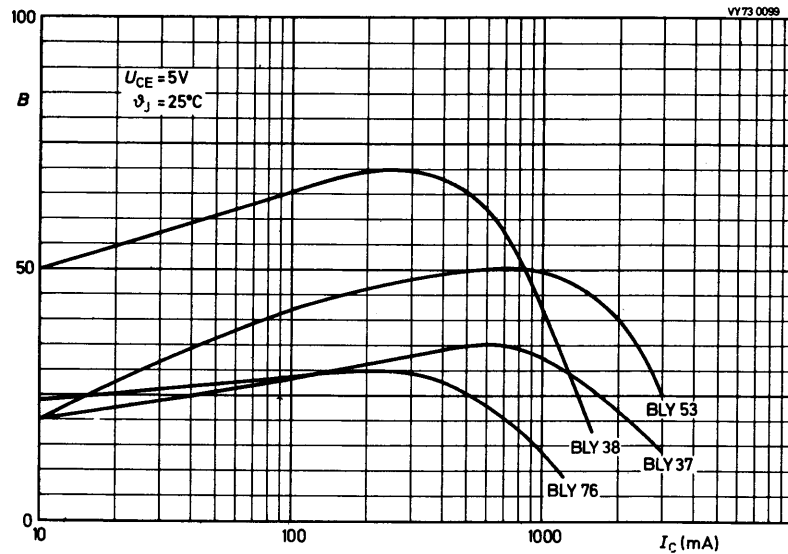
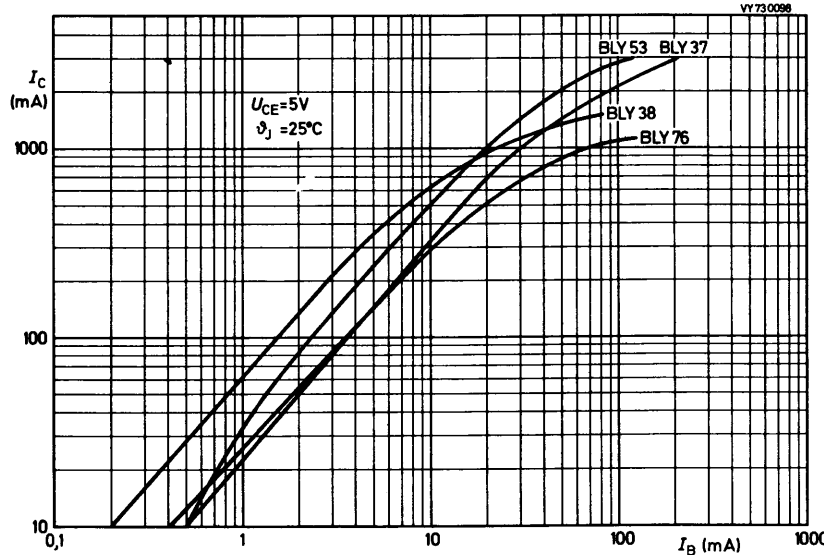
BLY 37
BLY 38
BLY 53
BLY 76



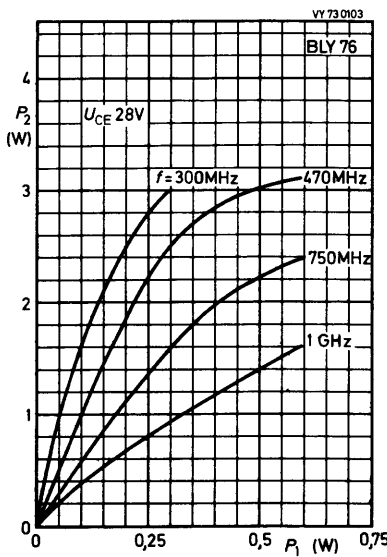
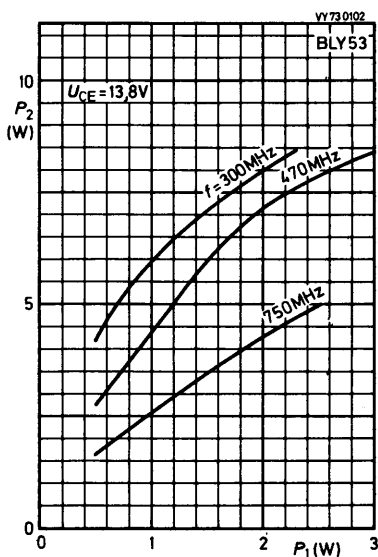
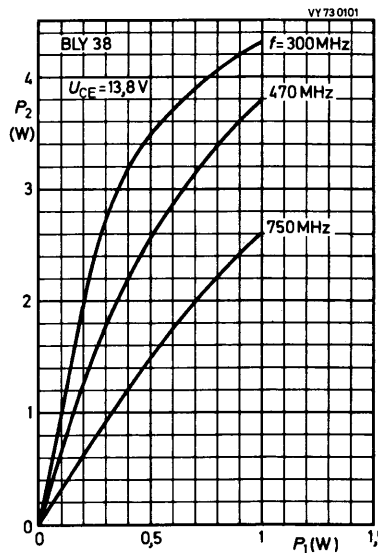
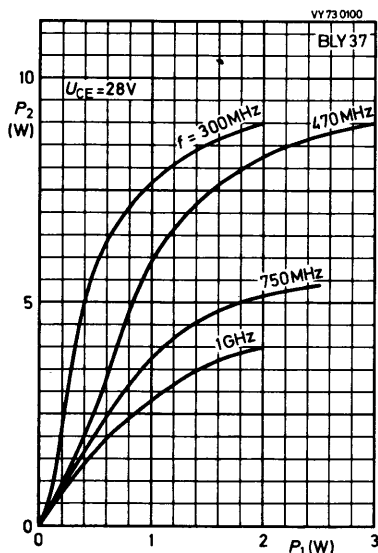
Bereich I: für alle Betriebsarten bei beliebigem Basis-Abschluß

Bereich II: nur für Aussteuerung mit $f \geq 1$ MHz

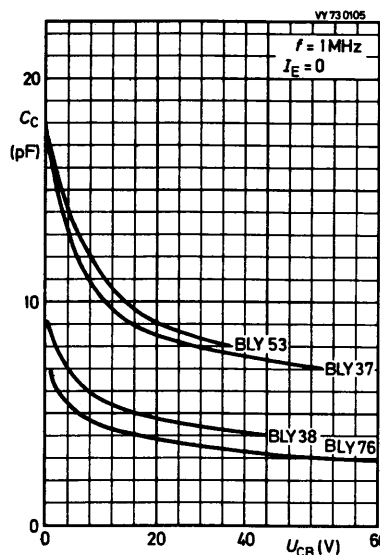
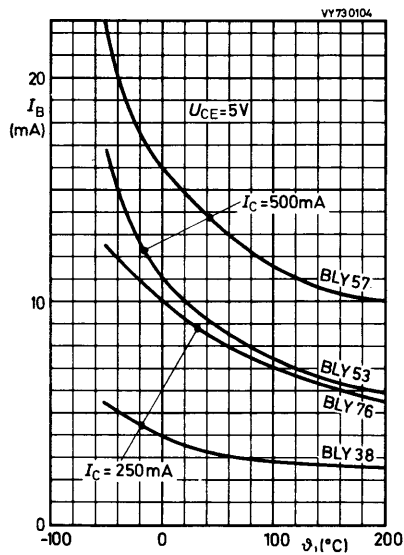
BLY 37
BLY 38
BLY 53
BLY 76



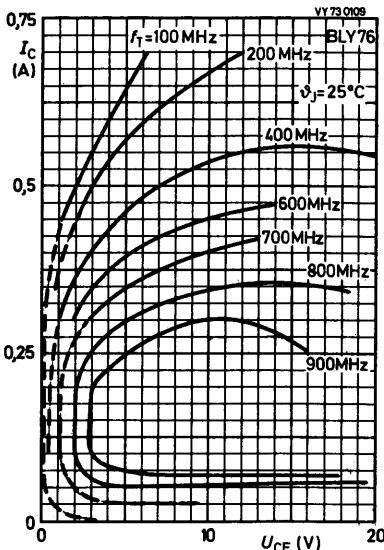
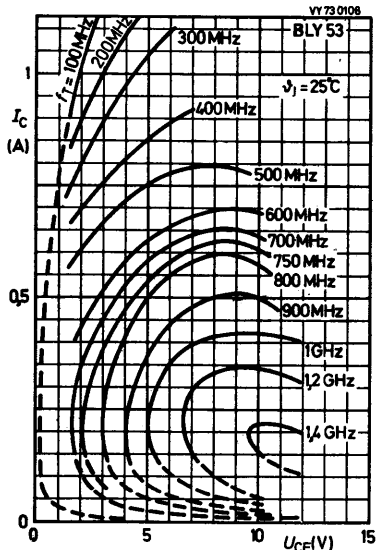
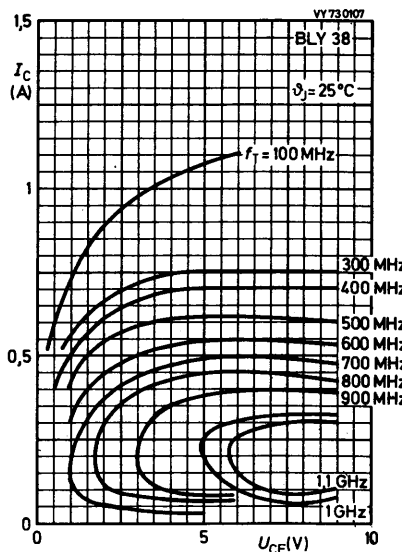
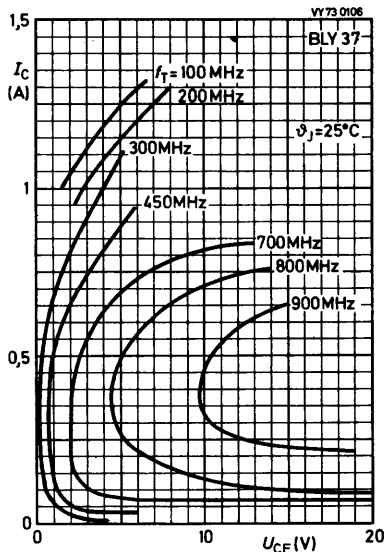
BLY 37
BLY 38
BLY 53
BLY 76



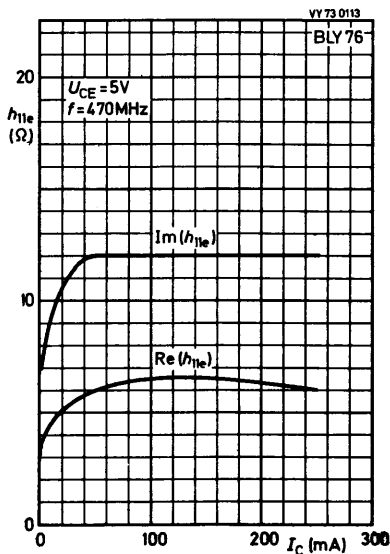
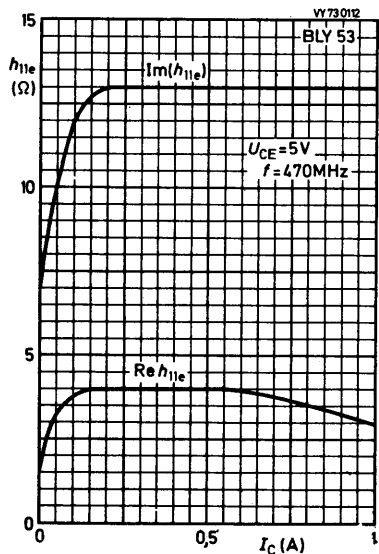
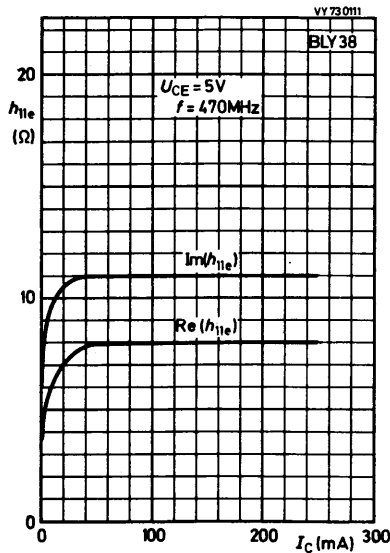
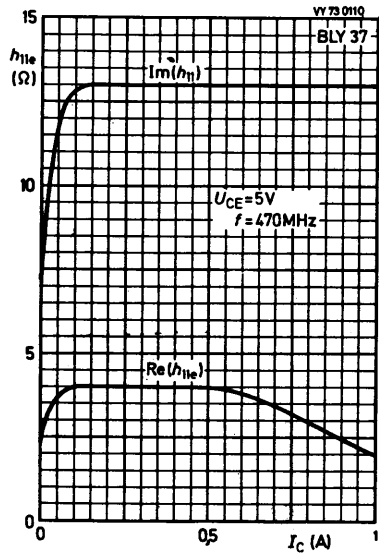
BLY 37
BLY 38
BLY 53
BLY 76



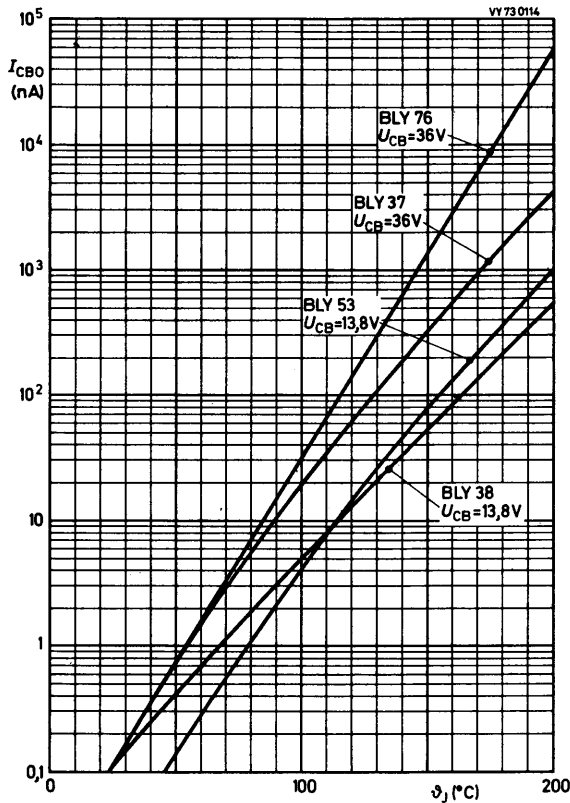
BLY 37
BLY 38
BLY 53
BLY 76



BLY 37
BLY 38
BLY 53
BLY 76



BLY 37
BLY 38
BLY 53
BLY 76



BLY 37

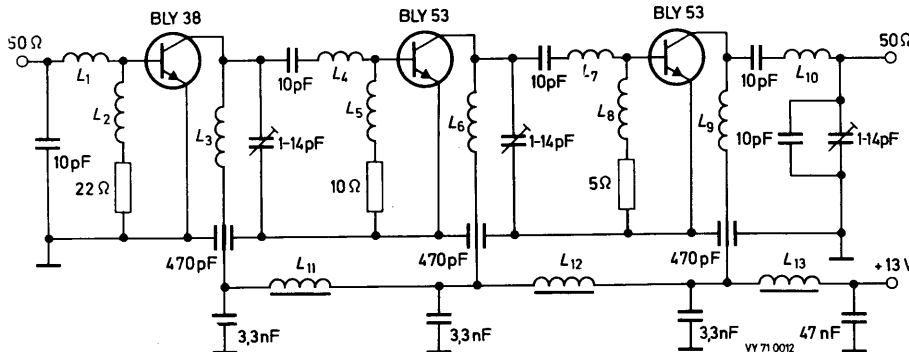
BLY 38

BLY 53

BLY 76

Schaltungsbeispiel eines dreistufigen Verstärkers für $f = 470 \text{ MHz}$:

Speisespannung:	$U_{CE} = 13 \text{ V}$	Ausgangsleistung:	$P_2 = 8 \text{ W}$
Eingangsleistung:	$P_1 = 0,3 \text{ W}$	Wirkungsgrad:	$\eta = 47 \%$



- $L_1: 30 \text{ nH}$
- $L_2: 3 \text{ Wdg. } 0,5 \text{ mm CuL, Innen-}\varnothing 4 \text{ mm}$
- $L_3: 3 \text{ Wdg. } 0,5 \text{ mm CuL, Innen-}\varnothing 4 \text{ mm}$
- $L_4: 25 \text{ nH}$
- $L_5: 3 \text{ Wdg. } 0,5 \text{ mm CuL, Innen-}\varnothing 4 \text{ mm}$
- $L_6: 4 \text{ Wdg. } 0,5 \text{ mm CuL, Innen-}\varnothing 4 \text{ mm}$
- $L_7: 18 \text{ nH}$
- $L_8: 4 \text{ Wdg. } 0,5 \text{ mm CuL, Innen-}\varnothing 4 \text{ mm}$
- $L_9: 4 \text{ Wdg. } 0,5 \text{ mm CuL, Innen-}\varnothing 4 \text{ mm}$
- $L_{10}: 8 \text{ nH}$
- $L_{11}: \text{FXC-Drossel } 4312 \ 020 \ 36700$
- $L_{12}: \text{FXC-Drossel } 4312 \ 020 \ 36700$
- $L_{13}: \text{FXC-Drossel } 4312 \ 020 \ 36700$



BLY 53 A

SILIZIUM - NPN - PLANAR - EPITAXIAL -
HF - LEISTUNGSTRANSISTOR
für Senderanwendungen
bei 470 MHz und 175 MHz

Mechanische Daten:

Gehäuse: Kunststoff
mit Gewindestutzen,
SOT-48/3

Alle Elektroden sind vom
Gewindestutzen isoliert.

Maßangaben in mm.

Der Transistor wird mit
Mutter SW 8,6 geliefert.

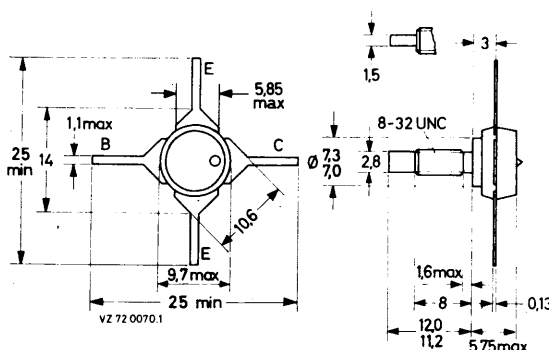
Drehmoment

bei Befestigung:

$$M_D = 0,8 \pm 0,05 \text{ Nm}$$
$$(8 \pm 0,5 \text{ cm kp})$$

Bohrungs-Durchmesser
im Kühlblech:

$$\phi = \text{max.}, 4,17 \text{ mm}$$



Kurzdaten:

Kollektor-Emitter-Sperrspannung

$$U_{CE\ 0} = \text{max. } 18 \text{ V}$$

Kollektorstrom, Scheitelwert bei $f > 1 \text{ MHz}$

$$I_{C\ M} = \text{max. } 4 \text{ A}$$

Gesamtverlustleistung bei $f > 10 \text{ MHz}$, $\theta_K \leq 90^\circ \text{C}$

$$P_{tot} = \text{max. } 8 \text{ W}$$

Ausgangsleistung als B-FM-Sender

bei $U_{CE} = 13,8 \text{ V}$, $f = 470 \text{ MHz}$

$$P_L = 7,8 \text{ W}$$

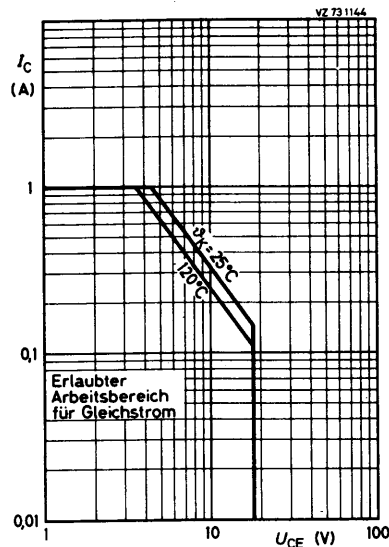
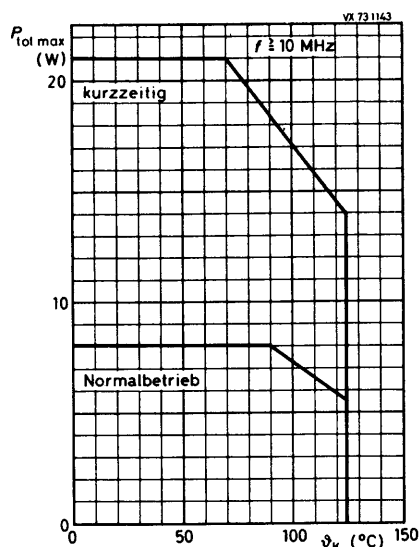
bei $U_{CE} = 13,8 \text{ V}$, $f = 175 \text{ MHz}$

$$P_L = 8,3 \text{ W}$$

BLY 53A

Absolute Grenzwerte:

Kollektor-Sperrspannung bei $I_E = 0$, Scheitelwert:	$U_{CB\ 0\ M}$ = max. 36 V
Kollektor-Emitter-Sperrspannung bei $R_{BE} = 0$, Scheitelwert:	$U_{CE\ S\ M}$ = max. 36 V
bei $I_B = 0$:	$U_{CE\ 0}$ = max. 18 V
Emitter-Sperrspannung bei $I_C = 0$:	$U_{EB\ 0}$ = max. 4 V
Kollektorstrom, Mittelwert:	$I_{C\ AV}$ = max. 1 A
Kollektorstrom, Scheitelwert bei $f > 1$ MHz:	$I_{C\ M}$ = max. 4 A
Gesamtverlustleistung bei $f > 10$ MHz, $\vartheta_K \leq 90^\circ C$:	P_{tot} = max. 8 W
Lagerungstemperatur:	ϑ_S = min. -65 °C ϑ_S = max. 150 °C



Kennwerte: (bei $\theta_J = 25^\circ\text{C}$)

Kollektor-Durchbruchspannung
bei $I_E = 0$, $I_C = 10 \text{ mA}$:

$$U_{(\text{BR}) \text{ CB } 0} > 36 \text{ V}$$

Kollektor-Emitter-Durchbruchspannung

bei $R_{BE} = 0$, $I_C = 10 \text{ mA}$:

$$U_{(\text{BR}) \text{ CE } S} > 36 \text{ V}$$

bei $I_B = 0$, $I_C = 25 \text{ mA}$:

$$U_{(\text{BR}) \text{ CE } 0} = 18 \text{ V}$$

Emitter-Durchbruchspannung

bei $I_C = 0$, $I_E = 1 \text{ mA}$:

$$U_{(\text{BR}) \text{ EB } 0} > 4 \text{ V}$$

Kollektor-Emitter-Restspannung

bei $I_C = 0,5 \text{ A}$, $I_B = 0,1 \text{ A}$:

$$U_{\text{CE sat}} = 0,2 \text{ V}$$

Gleichstromverstärkung

bei $U_{CE} = 5 \text{ V}$, $I_C = 0,5 \text{ A}$:

$$B = 40 (\geq 10)$$

Transit-Frequenz

bei $U_{CE} = 5 \text{ V}$, $I_C = 0,5 \text{ A}$, $f_M = 100 \text{ MHz}$:

$$f_T = 800 \text{ MHz}$$

Kollektorkapazität

bei $U_{CB} = 10 \text{ V}$, $I_E = 0$, $f = 1 \text{ MHz}$:

$$C_c = 14 (\leq 20) \text{ pF}$$

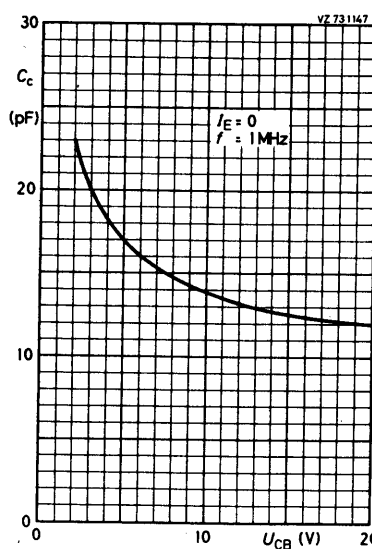
Emitterskapazität

bei $U_{EB} = 0 \text{ V}$, $I_C = 0$, $f = 1 \text{ MHz}$:

$$C_e = 65 \text{ pF}$$

Kapazität Kollektor / Gewindestutzen:

$$C_{c/G} = 2 \text{ pF}$$



BLY 53A

Schaltungsbeispiel: B-FM-Leistungsverstärker, f = 470 MHz, $\theta_K = 25^\circ\text{C}$:

Speisespannung: $U_{CE} = 13,8 \quad 13,8 \quad 12,5 \quad \text{V}$

Ausgangsleistung: $P_L = 7,8 \quad > 7 \quad > 7 \quad \text{W}$

Steuerleistung: $P_S = 2,0 \quad 2,0 \quad 2,2 \quad \text{W}$

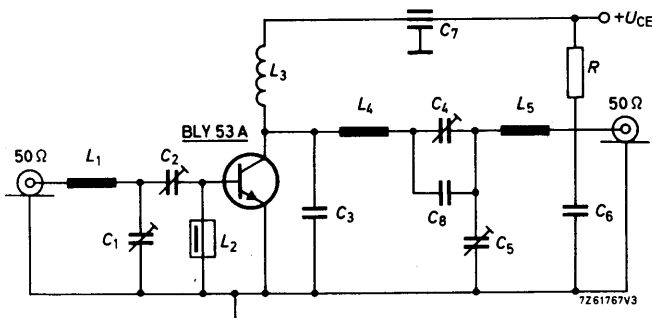
Wirkungsgrad: $\eta = 70 \quad 65 \quad 65 \quad \%$

Eingangswiderstand des Transistors: $Z_i = 2,3 + j6,3 \quad \Omega$

Lastleitwert am Kollektor: $Y_L = 50 - j36 \quad \text{mS}$

Der Transistor verträgt einen Welligkeitsfaktor bis $s = 50$ durch alle Phasen bei $U_{CE} \leq 16,5 \text{ V}$ und $\theta_K \leq 70^\circ\text{C}$.

Bei $\theta_K = 25 \dots 90^\circ\text{C}$ verringert sich die Ausgangsleistung um 10 mW pro Grad.



$C_1 = C_2 = C_4 = C_5: \quad 18 \text{ pF Folientrimmer}$

$C_3: \quad 6,8 \text{ pF Keramik-Kondensator}$

$C_6: \quad 0,1 \mu\text{F Keramik-Kondensator}$

$C_7: \quad 4 \text{ nF Durchführungs-Kondensator}$

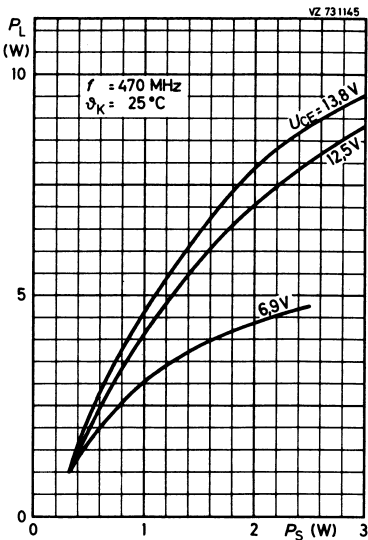
$C_8: \quad 10 \text{ pF Keramik-Kondensator}$

R: 10Ω

$L_1 = L_4 = L_5: \quad 20 \text{ mm langer Cu-Draht } 1,2 \text{ mm}$

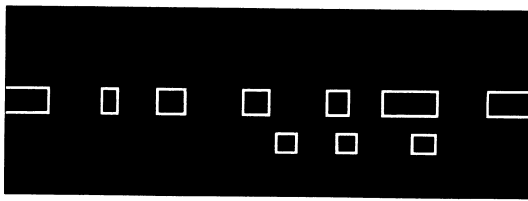
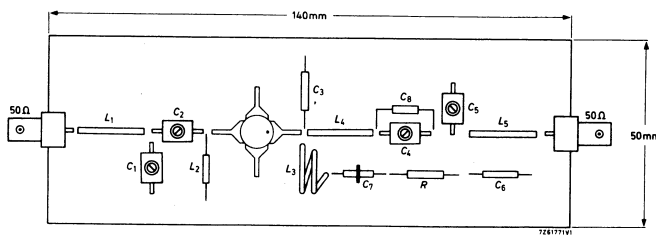
$L_2: \quad \text{FXC-Drossel } 0,47 \mu\text{H}$

$L_3: \quad 1,5 \text{ Wdg. } 1,6 \text{ mm CuL, Innen-Ø } 10 \text{ mm}$



Aufbauvorschlag für
470 MHz - B - FM -
Leistungsverstärker:

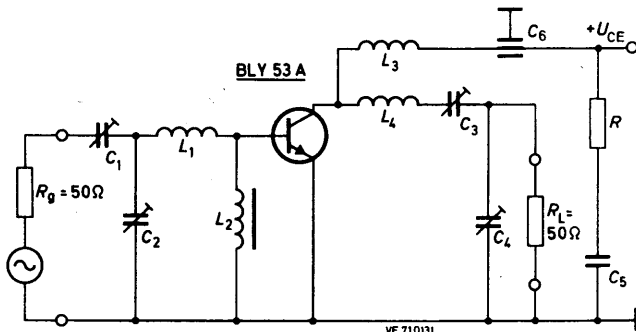
Die dunkel dargestellten Teile
der Platinen-Vorderseite sind
kupferkaschiert, die Rückseite
ist völlig kupferkaschiert.



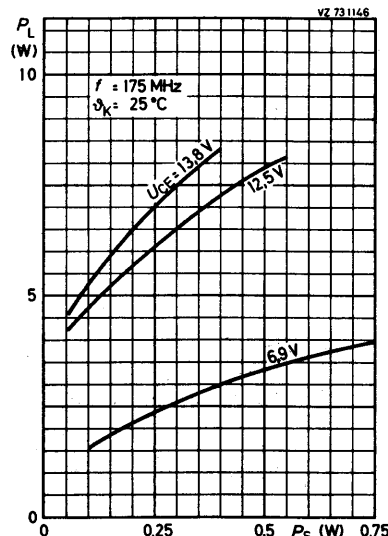
BLY 53 A

Schaltungsbeispiel: B-FM-Leistungsverstärker, $f = 175 \text{ MHz}$, $\vartheta_K = 25^\circ\text{C}$:

Speisespannung: $U_{CE} = 13,8 \text{ V}$ Steuerleistung: $P_S = 0,4 \text{ W}$
 Ausgangsleistung: $P_L = 8,3 \text{ W}$ Wirkungsgrad: $\eta = 65 \%$



- C_1 : 30 pF Lufttrimmer
- C_2 : 60 pF Lufttrimmer
- C_3 : 30 pF Lufttrimmer
- C_4 : 30 pF Lufttrimmer
- C_5 : 0,25 μF Keramik-Kondensator
- C_6 : 4 nF Durchführungs-Kondensator
- R : 10 Ω
- L_1 : 25 mm langer Cu-Draht 1,2 mm
- L_2 : 3 Wdg. 0,5 mm CuL auf FXC-Keri
- L_3 : 5 Wdg. 1,2 mm CuL
Innen- \varnothing 10 mm, Länge 10 mm
- L_4 : 3 Wdg. 1,2 mm CuL
Innen- \varnothing 10 mm, Länge 10 mm





BLY 57/2 N 3926

BLY 58/2 N 3927

SILIZIUM - NPN - PLANAR - EPITAXIAL - HF - LEISTUNGSTRANSISTOREN
für Senderanwendungen bei 13,5 V Speisespannung

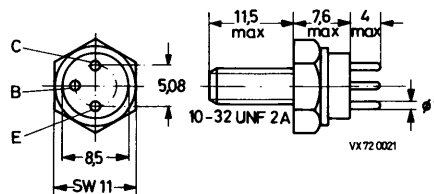
Mechanische Daten:

Gehäuse: Metall, JEDEC TO-60

Der Emitter ist mit dem
Gehäuse leitend verbunden.

Die Transistoren werden
mit Federscheibe und
Mutter SW 9,5 x 3,2 ge-
liefert.

Maßangaben in mm.



Kurzdaten:

	BLY 57 2 N 3926	BLY 58 2 N 3927	
Kollektor-Sperrspannung	$U_{CB\ 0}$ = max. 36	36	V
Kollektor-Emitter-Sperrspannung	$U_{CE\ 0}$ = max. 18	18	V
Kollektorstrom, Scheitelwert	$I_{C\ M}$ = max. 3,0	4,5	A
Gesamtverlustleistung bei $\theta_G = 25^\circ C$	P_{tot} = max. 11,6	23,0	W
Sperrsichttemperatur	θ_J = max. 200	200	$^\circ C$
Transit-Frequenz bei $U_{CE} = 13,5$ V, $I_C = 100$ mA	$f_T \geq$ 250		MHz
bei $U_{CE} = 13,5$ V, $I_C = 200$ mA	$f_T \geq$ 200		MHz
Ausgangsleistung bei $U_{CE} = 13,5$ V, $f = 175$ MHz	$P_2 \geq$ 7	12	W

BLY 57/2 N 3926

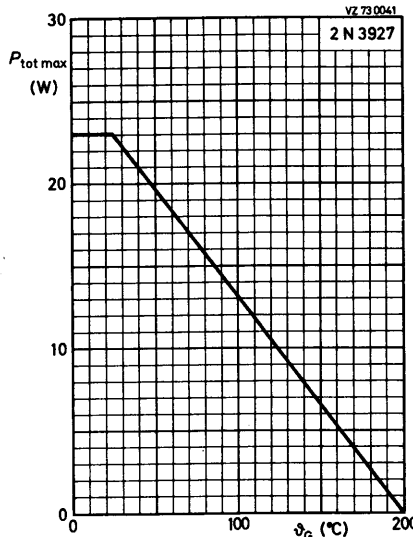
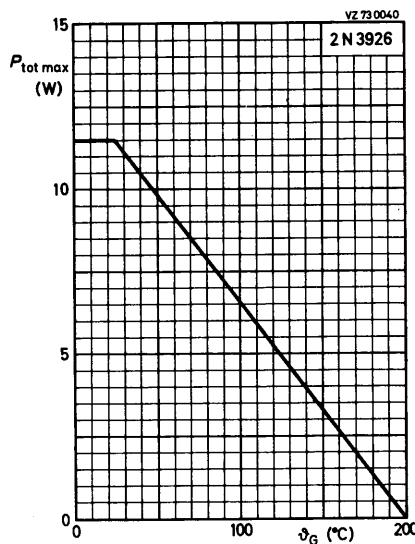
BLY 58/2 N 3927

Absolute Grenzwerte: (gültig bis ϑ_J max)

		2 N 3926	2 N 3927
Kollektor-Sperrspannung bei $I_E = 0$:	$U_{CB\ 0}$	= max.	36 V
Kollektor-Emitter-Sperrspannung bei $-U_{BE} = 1,5$ V:	$U_{CE\ V}$	= max.	36 V
bei $I_B = 0$:	$U_{CE\ 0}$	= max.	18 V
Emitter-Sperrspannung bei $I_C = 0$:	$U_{EB\ 0}$	= max.	4 V
Kollektorstrom, Mittelwert:	$I_{C\ AV}$	= max. 1,0	1,5 A
Kollektorstrom, Scheitelwert:	$I_{C\ M}$	= max. 3,0	4,5 A
Gesamtverlustleistung:	P_{tot}	= max. 11,6	23,0 W
Sperrsichttemperatur:	ϑ_J	= max.	200 °C
Lagerungstemperatur:	ϑ_S	= min. -65	°C
	ϑ_S	= max.	200 °C

Wärmewiderstand:

zwischen Sperrsicht und Gehäuse:	$R_{th\ G}$	\leq	15	7,6 grd/W
zwischen Gehäuse und Kühlkörper:	$R_{th\ G/K}$	\leq	0,6	grd/W



BLY 57/2 N 3926

BLY 58/2 N 3927

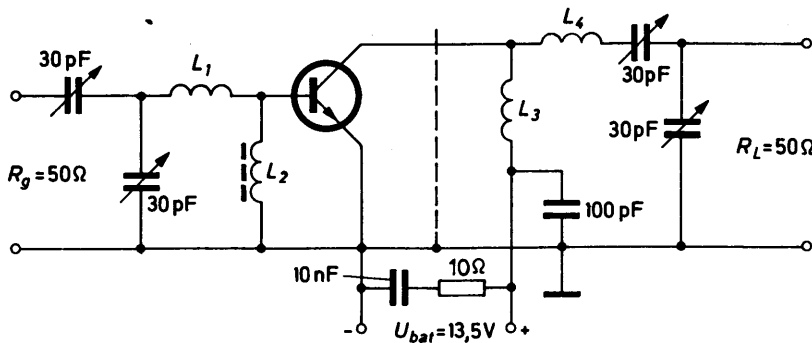
Kennwerte: (bei $\vartheta_J = 25^\circ\text{C}$, sofern nicht anders angegeben)

		2_N_3926	2_N_3927	
Kollektor-Emitter-Reststrom				
bei $U_{CE} = 15 \text{ V}$, $I_B = 0$:	$I_{CE} 0$	\leq	100	μA
bei $U_{CE} = 15 \text{ V}$, $I_B = 0$, $\vartheta_J = 150^\circ\text{C}$:	$I_{CE} 0$	\leq	5	mA
Kollektor-Durchbruchspannung				
bei $I_C = 250 \mu\text{A}$, $I_E = 0$:	$U_{(BR)} CB 0$	\geq	36	V
Kollektor-Emitter-Durchbruchspannung				
bei $I_C \leq 400 \text{ mA}$, $-U_{BE} = 1,5 \text{ V}$, $R_{BE} = 33 \Omega$:	$U_{(BR)} CE V$	\geq	36	V
bei $I_C \leq 400 \text{ mA}$, $I_B = 0$:	$U_{(BR)} CE 0$	\geq	18	V
Emitter-Durchbruchspannung				
bei $I_E = 250 \mu\text{A}$, $I_C = 0$:	$U_{(BR)} EB 0$	\geq	4	V
Kollektor-Emitter-Restspannung				
bei $I_C = 500 \text{ mA}$, $I_B = 100 \text{ mA}$:	$U_{CE sat}$	\leq	0,75	V
bei $I_C = 1000 \text{ mA}$, $I_B = 200 \text{ mA}$:	$U_{CE sat}$	\leq	1,0	V
Basisspannung				
bei $U_{CE} = 5 \text{ V}$, $I_C = 500 \text{ mA}$:	U_{BE}	\leq	1,5	V
bei $U_{CE} = 5 \text{ V}$, $I_C = 1000 \text{ mA}$:	U_{BE}	\leq	1,5	V
Gleichstromverstärkung				
bei $U_{CE} = 5 \text{ V}$, $I_C = 500 \text{ mA}$:	B	$=$	5...150	/
bei $U_{CE} = 5 \text{ V}$, $I_C = 1000 \text{ mA}$:	B	$=$	5...150	
Transit-Frequenz				
bei $U_{CE} = 13,5 \text{ V}$, $I_C = 100 \text{ mA}$:	f_T	\geq	250	MHz
bei $U_{CE} = 13,5 \text{ V}$, $I_C = 200 \text{ mA}$:	f_T	\geq	200	MHz
Kollektorkapazität				
bei $U_{CB} = 13,5 \text{ V}$, $I_E = 0$, $f = 1 \text{ MHz}$:	C_c	\leq	20	pF
Kollektor-Gehäuse-Kapazität:	$C_{C/G}$	$=$	5	pF
Realteil des Eingangswiderstandes				
bei $U_{CE} = 13,5 \text{ V}$, $I_C = 100 \text{ mA}$, $f = 200 \text{ MHz}$:	$1/g_{11e}$	\leq	20	Ω
bei $U_{CE} = 13,5 \text{ V}$, $I_C = 200 \text{ mA}$, $f = 200 \text{ MHz}$:	$1/g_{11e}$	\leq	20	Ω

BLY 57/2 N 3926

BLY 58/2 N 3927

Betriebsdaten als HF-Verstärker, f = 175 MHz:



L₁: 1 Wdg. 1,0 mm CuL, Innen-Ø 10 mm, Zuleitung 2 x 10 mm

L₂: FXC-Drossel 4312 020 36641

L₃: 15 Wdgn. 0,7 mm CuL, Innen-Ø 4 mm

L₄: 2 Wdgn. 1,5 mm CuL, Innen-Ø 8,5 mm, Zuleitung 2 x 20 mm

Ausgangsleistung und Wirkungsgrad
bei U_{CE} = 13,5 V, f = 175 MHz, θ_G = 25°C

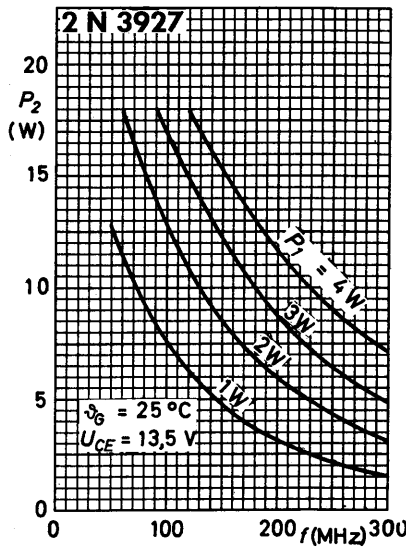
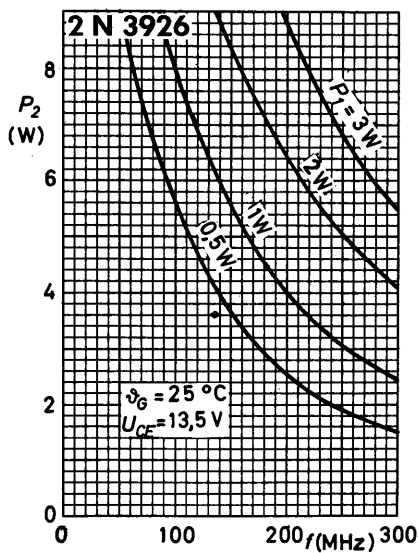
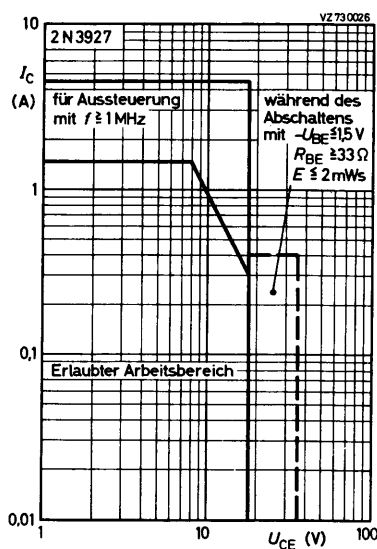
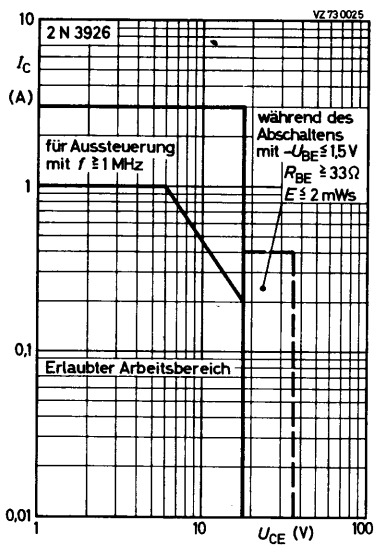
2 N 3926

2 N 3927

und	P ₁	=	2	4	W
I _C	≤	740	1100	mA	
P ₂	>	7	12	W	
η	≥	70	80	%	

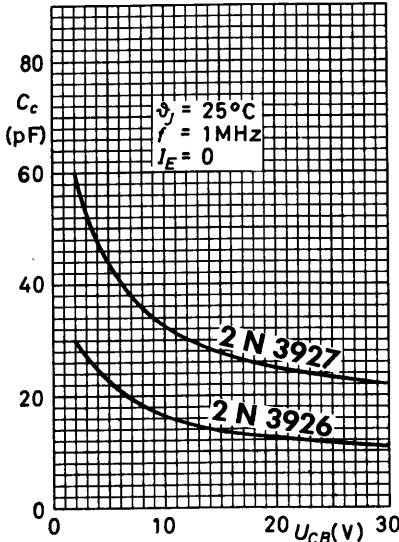
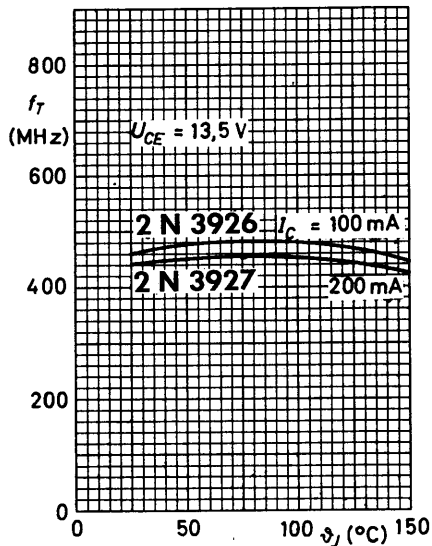
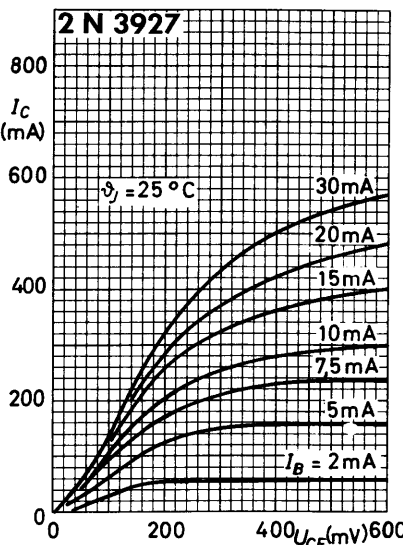
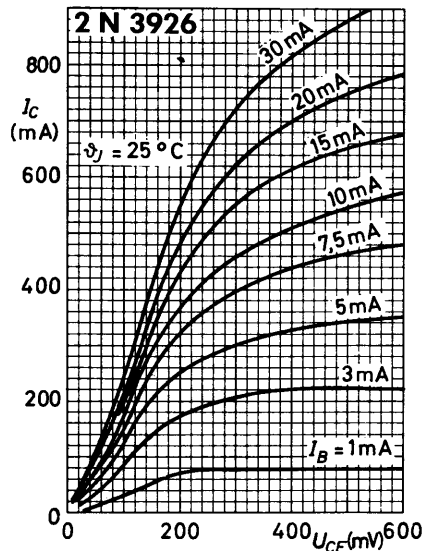
BLY 57/2 N 3926

BLY 58/2 N 3927



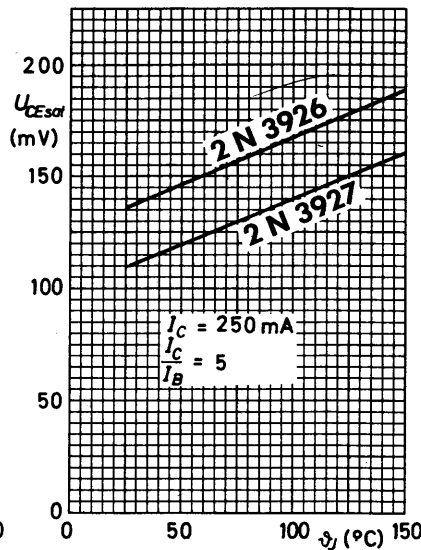
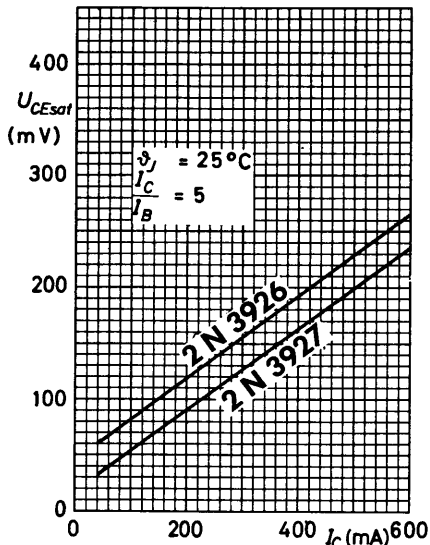
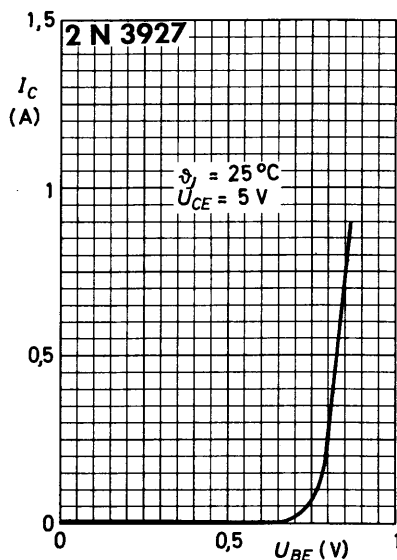
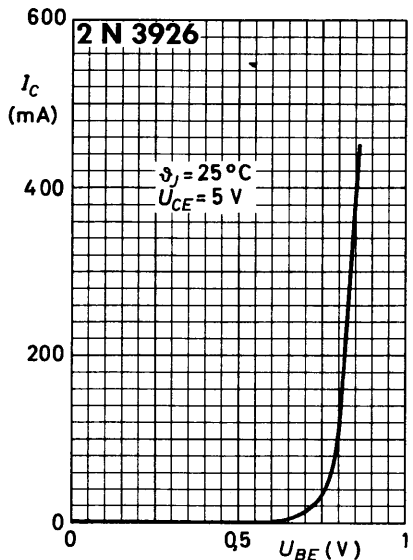
BLY 57/2 N 3926

BLY 58/2 N 3927



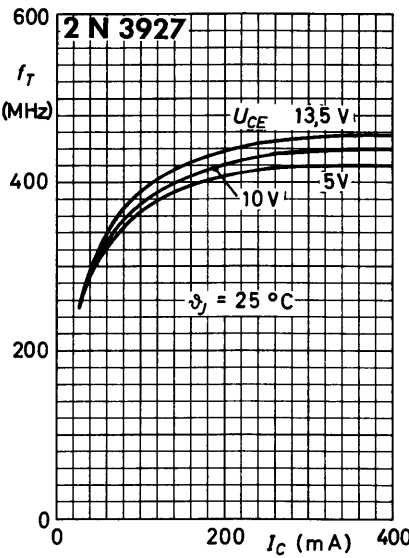
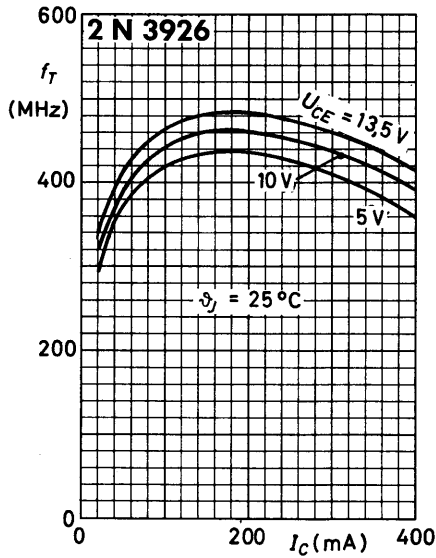
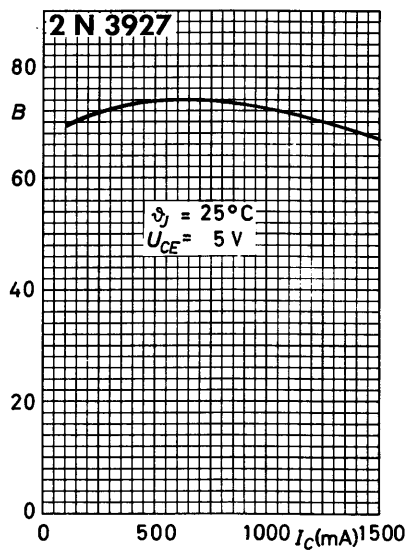
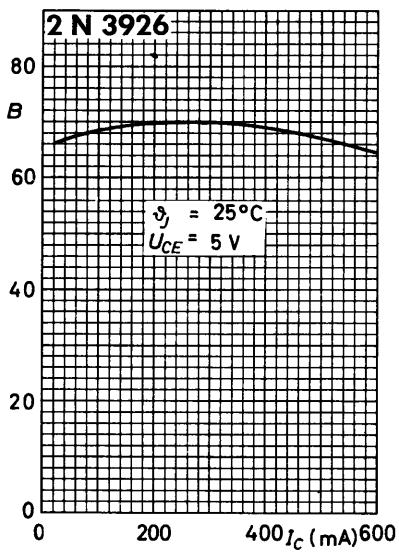
BLY 57/2 N 3926

BLY 58/2 N 3927



BLY 57/2 N 3926

BLY 58/2 N 3927





BLY 59/2 N 3375

BLY 60/2 N 3632

SILIZIUM - NPN - PLANAR - EPITAXIAL - HF - LEISTUNGSTRANSISTOREN
für Senderanwendungen bei 28 V Speisespannung

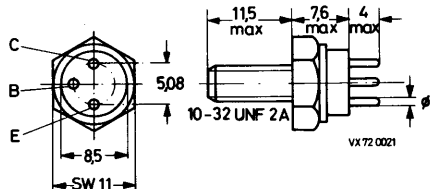
Mechanische Daten:

Gehäuse: Metall, JEDEC TO-60

Alle Elektroden sind
vom Gehäuse isoliert.

Die Transistoren werden
mit Federscheibe und
Mutter SW 9,5 x 3,2
geliefert.

Maßangaben in mm.



Kurzdaten:

	BLY 59 2 N 3375	BLY 60 2 N 3632
--	--------------------	--------------------

Kollektor-Sperrspannung	$U_{CB\ 0}$ = max.	65	V	
Kollektor-Emitter-Sperrspannung	$U_{CE\ 0}$ = max.	40	V	
Kollektorstrom, Scheitelwert	I_{CM} = max.	1,5	3,0	A
Gesamtverlustleistung bei $\theta_G = 25^\circ\text{C}$	P_{tot} = max.	11,6	23,0	W
Sperrsichttemperatur	θ_J = max.	200	°C	

Transit-Frequenz bei $U_{CE} = 28\text{ V}$, $I_C = 125\text{ mA}$	f_T =	500	MHz
bei $U_{CE} = 28\text{ V}$, $I_C = 250\text{ mA}$	f_T =	400	MHz
Ausgangsleistung bei $U_{CE} = 28\text{ V}$, $f = 100\text{ MHz}$	$P_2 \geq$	7,5	W
bei $U_{CE} = 28\text{ V}$, $f = 175\text{ MHz}$	$P_2 \geq$	13,5	W
bei $U_{CE} = 28\text{ V}$, $f = 400\text{ MHz}$	$P_2 \leq$	3,0	W

BLY 59/2 N 3375

BLY 60/2 N 3632

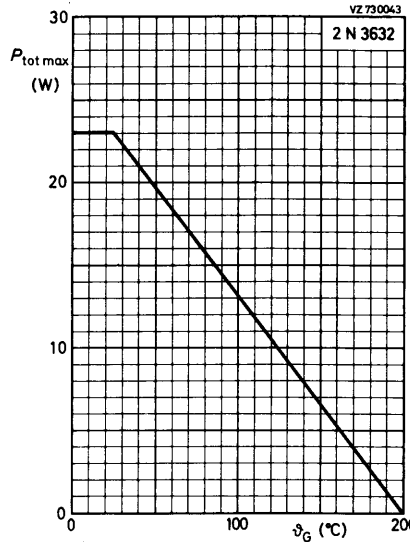
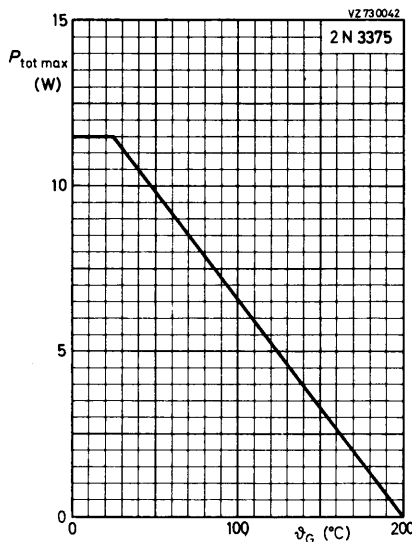
Absolute Grenzwerte: (gültig bis θ_J max)

2 N 3375 2 N 3632

Kollektor-Sperrspannung bei $I_E = 0$:	$U_{CB\ 0}$	= max.	65	V
Kollektor-Emitter-Sperrspannung bei $-U_{BE} = 1,5$ V:	$U_{CE\ V}$	= max.	65	V
bei $I_B = 0$:	$U_{CE\ 0}$	= max.	40	V
Emitter-Sperrspannung bei $I_C = 0$:	$U_{EB\ 0}$	= max.	4	V
Kollektorstrom, Mittelwert:	$I_{C\ AV}$	= max.	0,5	A
Kollektorstrom, Scheitelwert:	$I_{C\ M}$	= max.	1,5	A
Gesamtverlustleistung:	P_{tot}	= max.	11,6	W
Sperrsichttemperatur:	θ_J	= max.	200	°C
Lagerungstemperatur:	θ_S	= min.	-65	°C
	θ_S	= max.	200	°C

Wärmewiderstand:

zwischen Sperrsicht und Gehäuse:	$R_{th\ G}$	\leq	15	7,6 grd/W
zwischen Gehäuse und Kühlkörper:	$R_{th\ G/K}$	\leq	0,6	grd/W



BLY 59/2 N 3375

BLY 60/2 N 3632

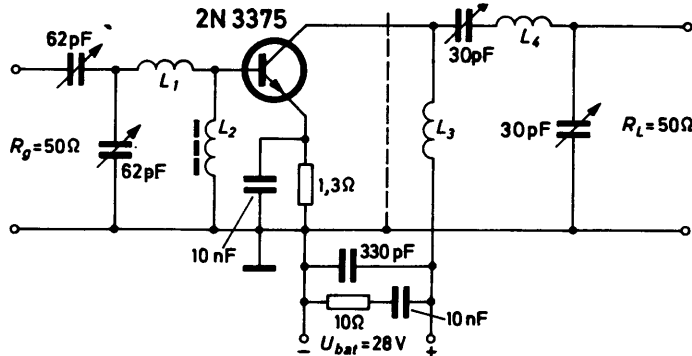
Kennwerte: (bei $\theta_J = 25^\circ\text{C}$)

		2 N 3375	2 N 3632
Kollektor-Emitter-Reststrom bei $U_{CE} = 30 \text{ V}$, $I_B = 0$:	$I_{CE\ 0}$	≤ 100	$250 \text{ }\mu\text{A}$
Kollektor-Durchbruchspannung bei $I_C = 250 \text{ }\mu\text{A}$, $I_E = 0$:	$U_{(BR)\ CB\ 0}$	$>$	65 V
Kollektor-Emitter-Durchbruchspannung bei $I_C \leq 200 \text{ mA}$ und $I_B = 0$: $-U_{BE} = 1,5 \text{ V}$:	$U_{(BR)\ CE\ 0}$ $U_{(BR)\ CE\ V}$	$>$ $>$	40 V 65 V
Emitter-Durchbruchspannung bei $I_E = 250 \text{ }\mu\text{A}$, $I_C = 0$:	$U_{(BR)\ EB\ 0}$	$>$	4 V
Kollektor-Emitter-Restspannung bei $I_C = 500 \text{ mA}$, $I_B = 100 \text{ mA}$: bei $I_C = 1000 \text{ mA}$, $I_B = 200 \text{ mA}$:	$U_{CE\ sat}$ $U_{CE\ sat}$	$\leq 1,0$ \leq	V $1,0 \text{ V}$
Basisspannung bei $U_{CE} = 5 \text{ V}$ und $I_C = 500 \text{ mA}$: $I_C = 1000 \text{ mA}$:	U_{BE} U_{BE}	$\leq 1,5$ \leq	V $1,5 \text{ V}$
Gleichstromverstärkung bei $U_{CE} = 5 \text{ V}$ und $I_C = 125 \text{ mA}$: $I_C = 250 \text{ mA}$: $I_C = 1000 \text{ mA}$:	B B B	$= 15 \dots 200$ $= 10 \dots 100$ $=$	$10 \dots 150$ $5 \dots 110$
Transit-Frequenz bei $U_{CE} = 28 \text{ V}$ und $I_C = 125 \text{ mA}$: $I_C = 250 \text{ mA}$:	f_T f_T	$= 500$ $=$	MHz 400 MHz
Kollektorkapazität bei $U_{CE} = 28 \text{ V}$, $I_E = 0$, $f = 1 \text{ MHz}$:	C_c	≤ 10	20 pF
Kollektor-Gehäuse-Kapazität:	$C_{C/G}$	\leq	6 pF
Realteil des Eingangswiderstandes bei $U_{CE} = 28 \text{ V}$, $I_C = 125 \text{ mA}$, $f = 200 \text{ MHz}$:	$\frac{1}{g_{11\ e}}$	≤ 20	Ω
bei $U_{CE} = 28 \text{ V}$, $I_C = 250 \text{ mA}$, $f = 200 \text{ MHz}$:	$\frac{1}{g_{11\ e}}$	\leq	$20 \text{ }\Omega$

BLY 59/2 N 3375

BLY 60/2 N 3632

Betriebsdaten als HF-Verstärker (f = 100 MHz)



L₁: 2 Wdgn. 1,5 mm CuL, 10 mm Ø

L₂: FXC-Drossel 4312 020 36641, Z = 700 Ω bei f = 100 MHz

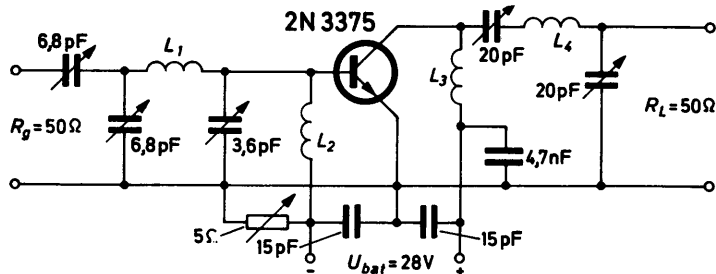
L₃: 23 Wdgn. 0,7 mm CuL, 6 mm Ø

L₄: 5 Wdgn. 1,5 mm CuL, 12 mm Ø

Ausgangsleistung	bei $\vartheta_G = 25^\circ\text{C}$	$P_2 \geq 7,5 \text{ W}$
Wirkungsgrad		$\eta \geq 65 \%$

$I_C^1 \leq 410 \text{ A:}$

Betriebsdaten als HF-Verstärker (f = 400 MHz)



L₁: 1,5 mm CuL, 20 mm lang, Chassisabstand 8 mm

L₂: 17 Wdgn. 0,5 mm CuL, 3 mm Ø

L₃: 7 Wdgn. 0,5 mm CuL, 3 mm Ø

L₄: 1 Wdg. 1,5 mm CuL, 10 mm Ø

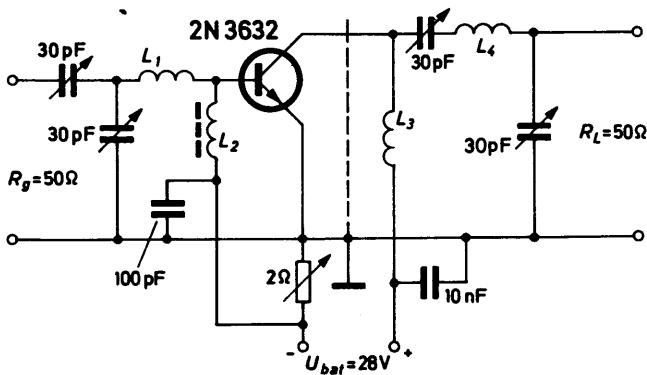
Ausgangsleistung	bei $\vartheta_G = 25^\circ\text{C}$	$P_2 \geq 3 \text{ W}$
Wirkungsgrad		$\eta \geq 40 \%$

$I_C^1 = 270 \text{ mA:}$

BLY 59/2 N 3375

BLY 60/2 N 3632

Betriebsdaten als HF-Verstärker (f = 175 MHz)



L₁: 1 Wdg. 1,0 mm CuL, 10 mm Ø

L₂: FXC-Drossel 4312 020 36641

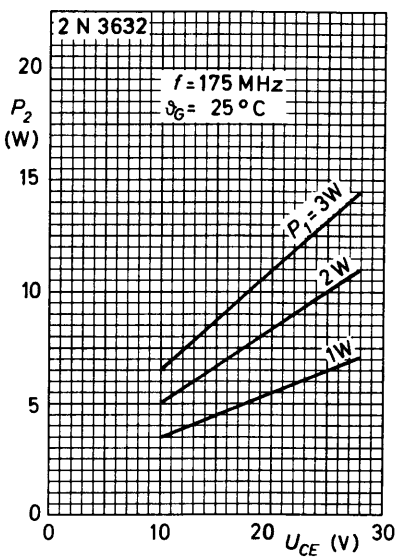
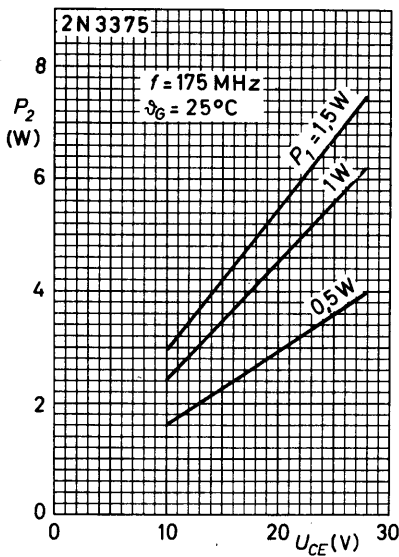
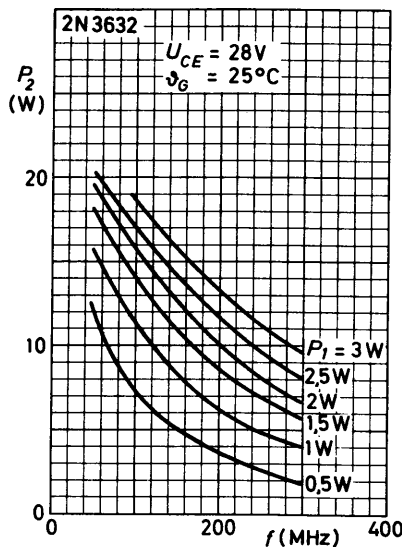
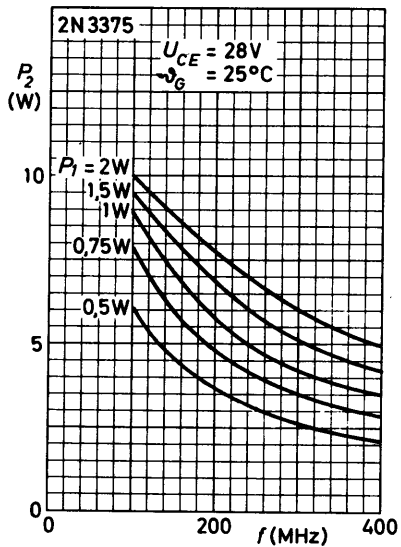
L₃: 15 Wdgn. 0,7 mm CuL, 4 mm Ø

L₄: 3 Wdgn. 1,5 mm CuL, 12 mm Ø

Ausgangsleistung } bei $V_G = 25^\circ\text{C}$ $P_2 \geq 13,5 \text{ W}$
 Wirkungsgrad } $P_{\text{P}} = 3,5 \text{ W}$ $\eta \geq 70 \%$
 } $I_C^1 = 690 \text{ mA}$:

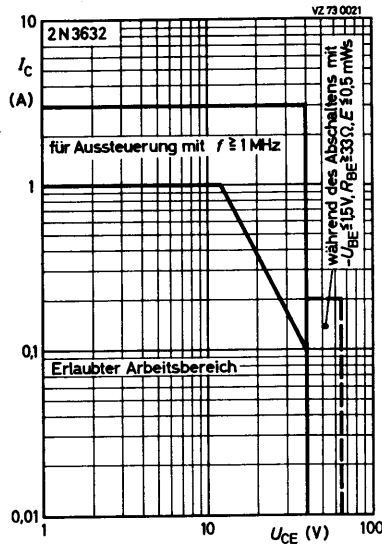
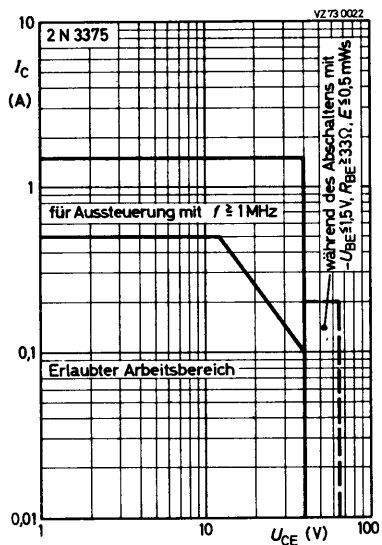
BLY 59/2 N 3375

BLY 60/2 N 3632



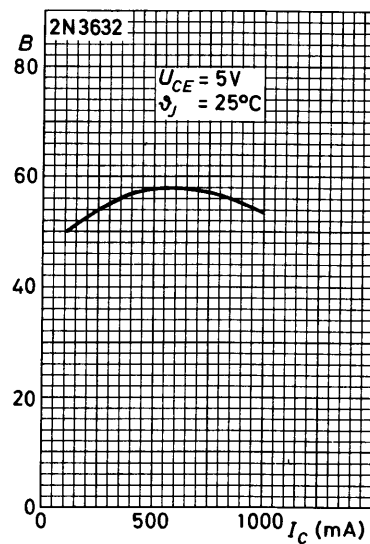
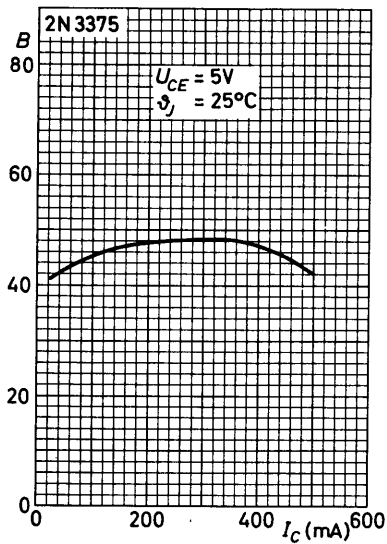
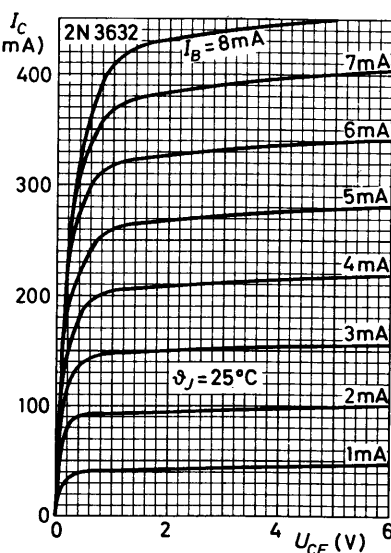
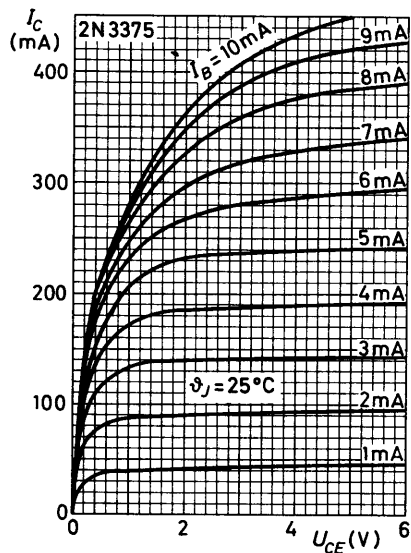
BLY 59/2 N 3375

BLY 60/2 N 3632



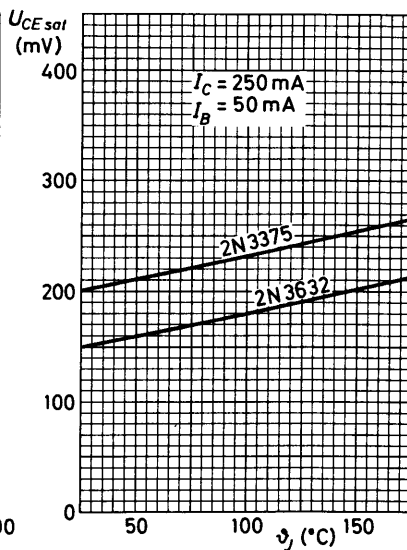
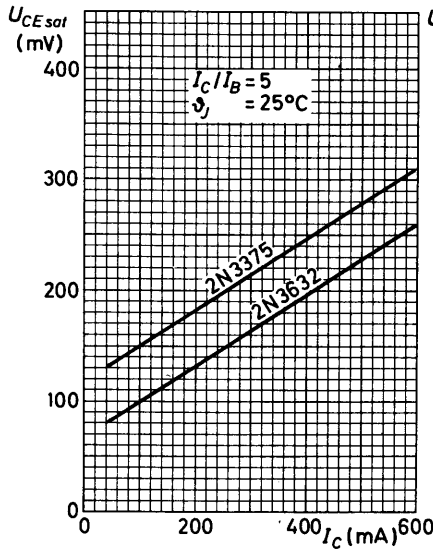
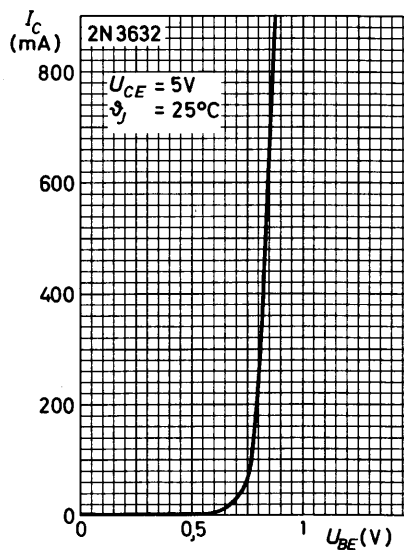
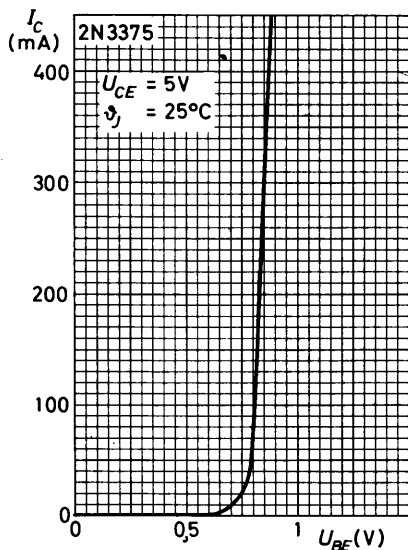
BLY 59/2 N 3375

BLY 60/2 N 3632



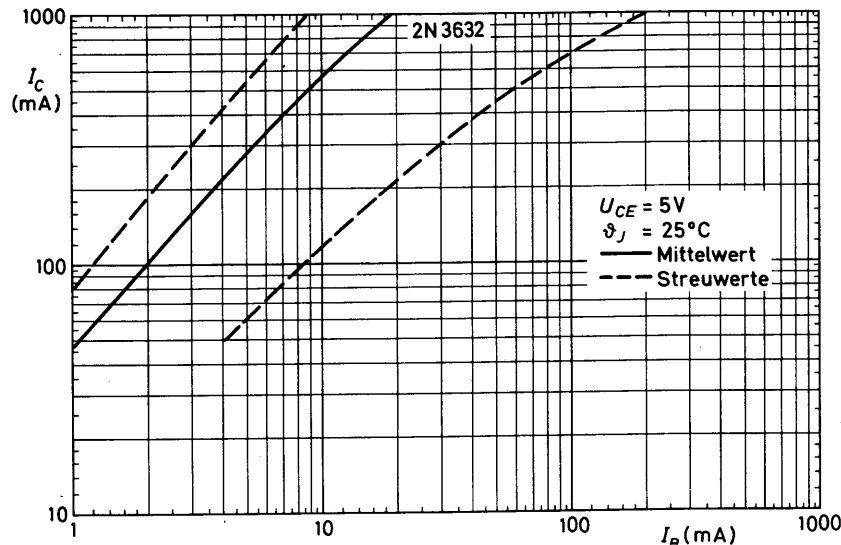
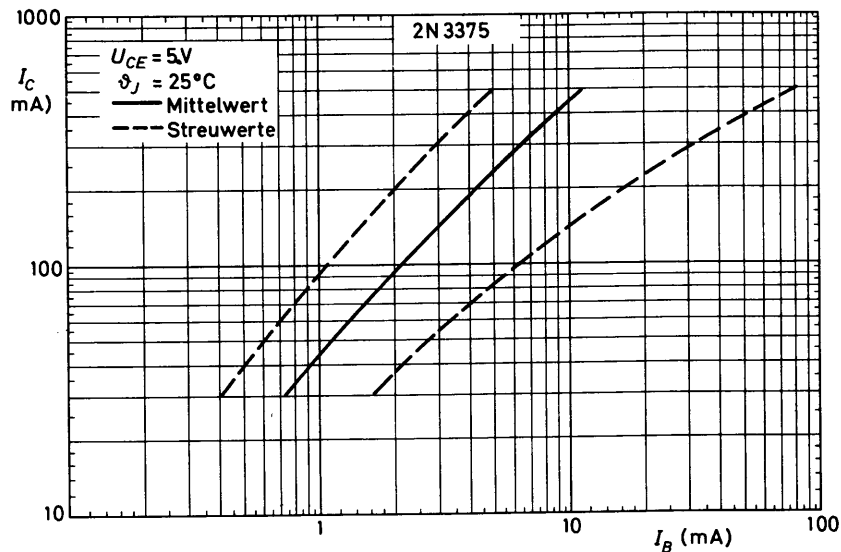
BLY 59/2 N 3375

BLY 60/2 N 3632



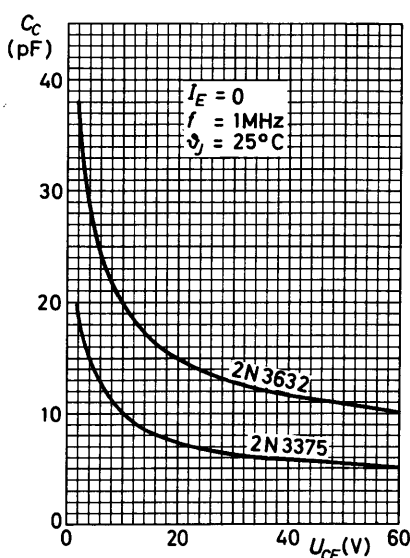
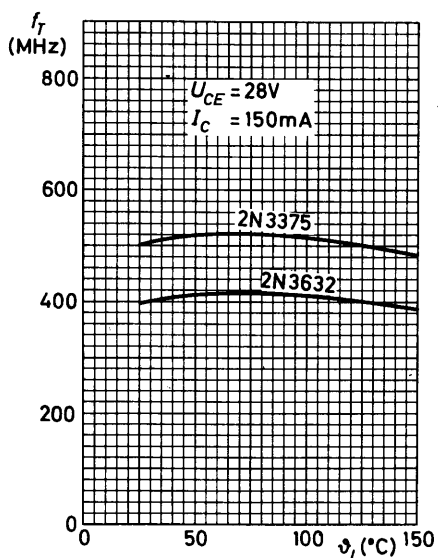
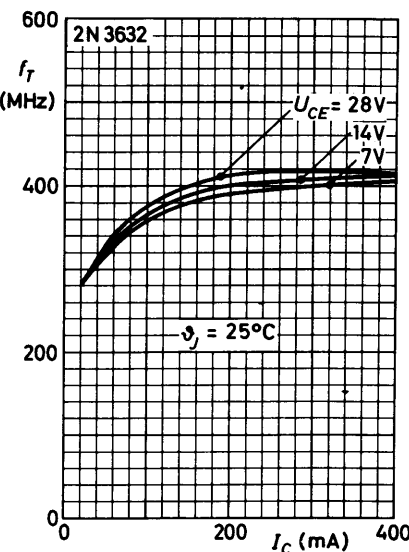
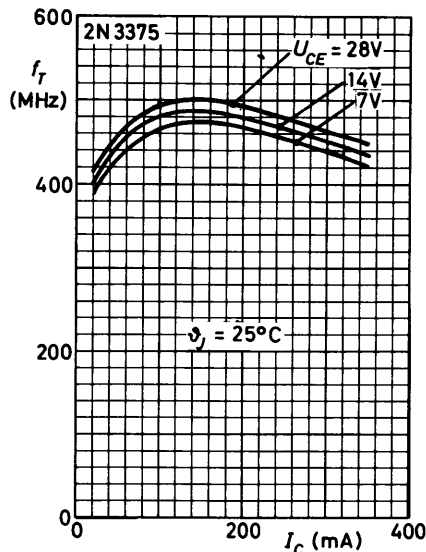
BLY 59/2 N 3375

BLY 60/2 N 3632



BLY 59/2 N 3375

BLY 60/2 N 3632



V.H.F. POWER TRANSISTORS

The BLY85 and BLY97 are silicon planar n-p-n transistors primarily intended for class-B operation in the v.h.f. driver stages of mobile transmitters. The BLY85 is designed for 4 W f.m. operation at 13,8 V supply and the BLY97 for 4 W f.m. operation at 24 V supply.

QUICK REFERENCE DATA

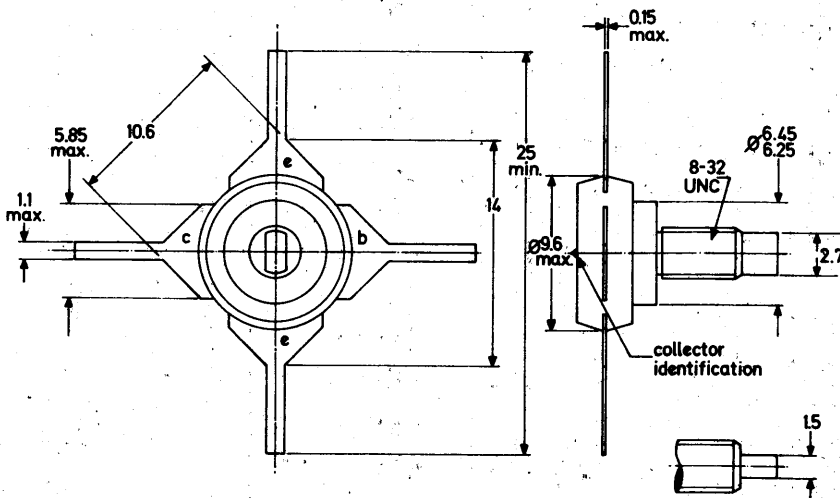
Typical c.w. performance up to $T_{mb} = 40^{\circ}\text{C}$

type number	V_{CC} V	f MHz	P_{DR} W	P_L W	η %
BLY85	13,8	175	0,2	4,0	64
BLY97	24	175	0,14	4,0	52

MECHANICAL DATA

Fig. 1.

Dimensions in mm



D1020

Accessories: Nut and lock washer supplied with device.

Torque on nut: min. 0,75 Nm (7,5 kg cm)
max. 0,85 Nm (8,5 kg cm)

CAUTION These devices incorporate beryllium oxide, the dust of which is toxic. The devices are entirely safe provided that the BeO disc is not damaged.

RATINGS

Limiting values in accordance with the Absolute Maximum System (IEC 134)

			BLY85	BLY97
Collector-emitter voltage				
peak value ($f \geq 1 \text{ MHz}$); $V_{BE} = 0$	V_{CESM}	max.	40	66
open base	V_{CEO}	max.	20	33
Emitter-base voltage (open collector)	V_{EBO}	max.		4,0
Collector current				
d.c.	I_C	max.	1,0	A
(peak value); $f < 1 \text{ MHz}$	I_{CM}	max.	1,0	A
(peak value); $f \geq 1 \text{ MHz}$	I_{CM}	max.	3,0	A
Total power dissipation up to $T_{mb} = 25^\circ\text{C}$				
$f < 1 \text{ MHz}$	P_{tot}	max.	8,0	W
$f \geq 1 \text{ MHz}$	P_{tot}	max.	10	W
Storage temperature	T_{stg}		-30 to +150	$^\circ\text{C}$
Junction temperature				
continuous operation	T_j	max.	150	$^\circ\text{C}$
short duration overload conditions	T_j	max.	200	$^\circ\text{C}$
THERMAL RESISTANCE				
From junction to mounting base	$R_{th j-mb}$	=	12,5	K/W*
CHARACTERISTICS				
$T_j = 25^\circ\text{C}$ unless otherwise specified				
Collector cut-off current				
$V_{BE} = 0$; $V_{CE} = 20 \text{ V}$	I_{CES}	<	0,5	mA
$V_{BE} = 0$; $V_{CE} = V_{CESM}$ max	I_{CES}	<	5,0	mA
Emitter cut-off current				
$I_C = 0$; $V_{EB} = 4,0 \text{ V}$	I_{EBO}	<	0,5	mA
D.C. current gain				
$I_C = 0,2 \text{ A}$; $V_{CE} = 5,0 \text{ V}$	h_{FE}	>	10	
Transition frequency at $f = 100 \text{ MHz}$				
$I_C = 0,2 \text{ A}$; $V_{CE} = 5,0 \text{ V}$; $T_{amb} = 25^\circ\text{C}$	f_T	>	250	MHz
Collector capacitance at $f = 0,5 \text{ MHz}$				
$I_E = I_e = 0$; $V_{CB} = 10 \text{ V}$	C_c	<	15	pF
Emitter capacitance at $f = 0,5 \text{ MHz}$				
$I_C = I_c = 0$; $V_{EB} = 0$	C_e		45 to 90	pF

* K/W is SI unit for $^\circ\text{C}/\text{W}$.

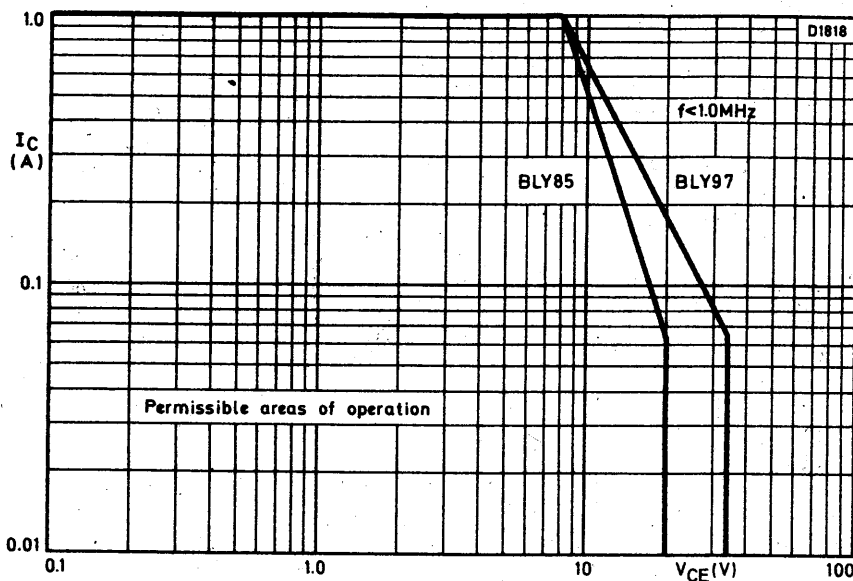
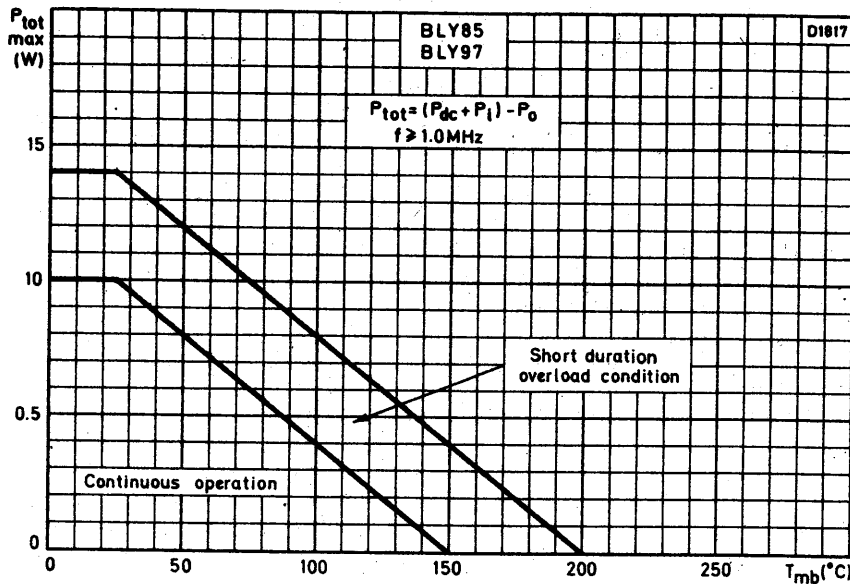


Fig. 2.

Fig. 3 Maximum permissible power dissipation plotted against mounting base temperature for frequencies $\geq 1 \text{ MHz}$.

APPLICATION INFORMATION

R.F. performance in c.w. operation up to $T_{mb} = 40^{\circ}\text{C}$

type number	V_{CC} V	f MHz	P_{DR} W	P_L W	I_C mA	G_p dB	η %
BLY85	nom. 13,8 max. 16,5	175	0,4	4,0	< 480	> 10	> 60
BLY97	nom. 24 max. 28	175	0,2	4,0	< 278	> 13	> 50

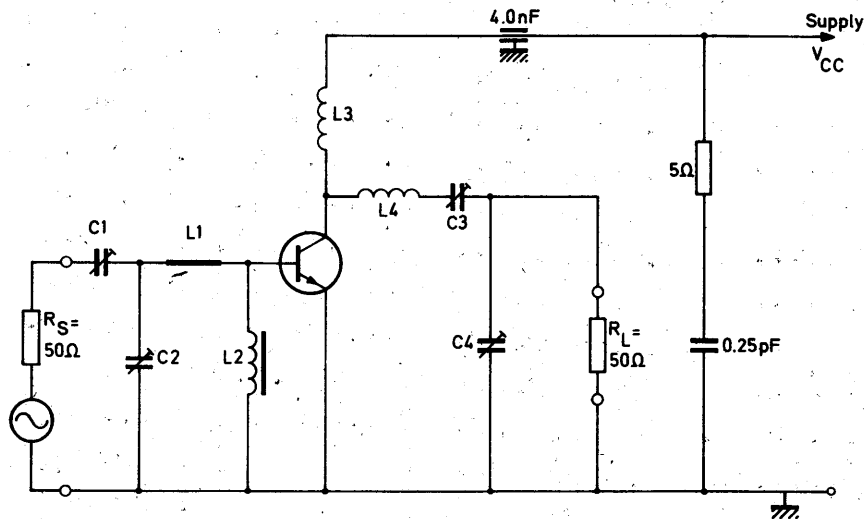


Fig. 4 Basic v.h.f. amplifier circuit.

D18.21

Component values for 175 MHz amplifier circuit:

C1 = C3 = C4 = 30 pF max. concentric trimmer capacitors

C2 = 60 pF max. concentric trimmer capacitor

L1 = 1" of straight 18 s.w.g.

L2 = 3 turns of 24 s.w.g. on ferrite FX1115

L3 = 5 turns of 18 s.w.g.; d = 3/8"; length 3/8"

L4 = 3 turns of 18 s.w.g.; d = 3/8"; length 3/8"

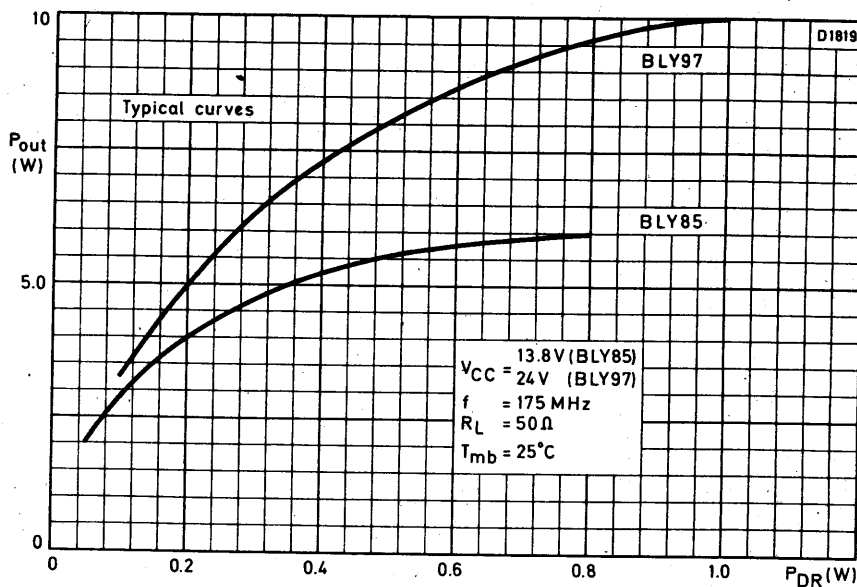


Fig. 5 Output power plotted against drive power.

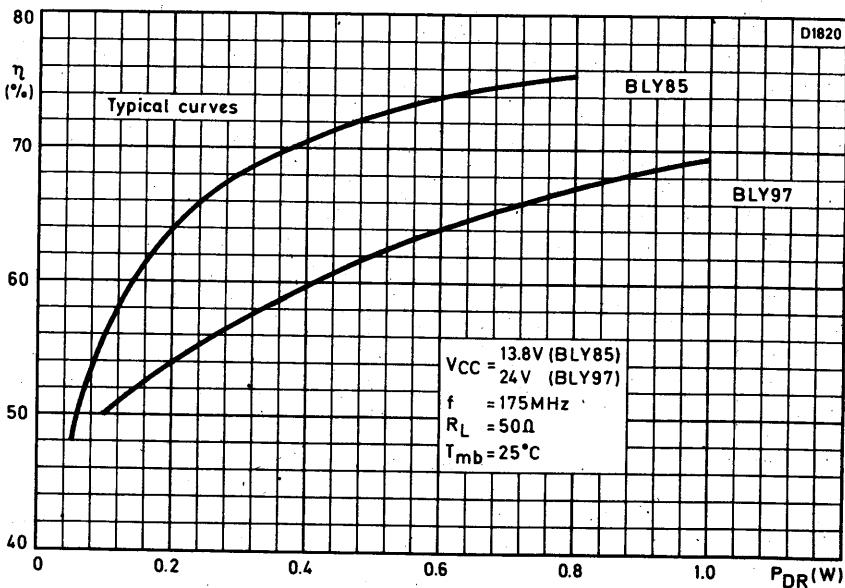


Fig. 6 Efficiency plotted against drive power.